

บทที่ 3

วิธีการทดลอง

ในบทนี้จะกล่าวถึงรายละเอียดของสารเคมี วัสดุอุปกรณ์ และกระบวนการเตรียมผงและเซรามิก BNTZ รวมถึงวิธีการเตรียมชิ้นงานเพื่อตรวจสอบคุณสมบัติทางกายภาพ โครงสร้างทางจุลภาค คุณสมบัติทางกล และคุณสมบัติทางไฟฟ้า อีกด้วย ซึ่งกล่าวในรายละเอียดดังนี้

3.1 สารเคมีที่ใช้ในการทดลอง

- 3.1.1 ผงบิสเมลออกไซด์ (Bi_2O_3) ความบริสุทธิ์ > 98% บริษัท Fluka
- 3.1.2 โซเดียมคาร์บอเนต (Na_2CO_3) ความบริสุทธิ์ > 99.5%, บริษัท Carlo Erba
- 3.1.3 ไทเทเนียมไดออกไซด์ (TiO_2) ความบริสุทธิ์ > 99%, บริษัท Riedel de Haen
- 3.1.4 เชอร์โคเนียมออกไซด์ (ZrO_2) ความบริสุทธิ์ > 99%, บริษัท Riedel de Haen
- 3.1.5 แอลานทานัมออกไซด์ (La_2O_3)
- 3.1.6 ไนโอลิเบียมออกไซด์ (Nb_2O_5)
- 3.1.8 โคบัลต์ออกไซด์ (CoO)
- 3.1.7 เอทานอล (ethanol) ความบริสุทธิ์ 99.99% บริษัท MERCK
- 3.1.8 น้ำมันซิลิโคน (silicone oil)
- 3.1.9 ซิลิก้าเจล (silica gel)
- 3.1.10 อะซైடอน (acetone) ความบริสุทธิ์ 99% บริษัท Merck ประเทศเยอรมัน
- 3.1.11 โพลีไวนิลแอลกอฮอล์ (PVA) บริษัท Fluka ประเทศสวิตเซอร์แลนด์
- 3.1.12 กาวเงิน (silver paint)

3.2 วัสดุอุปกรณ์ที่ใช้ในการทดลอง

- 3.2.1 เครื่องซั่งดิจิตอลความละเอียด 0.0001 กรัมผลิตโดย บริษัท AND รุ่น HM-300
- 3.2.2 ลูกบดเซอร์โคเนียม (zirconia ball media) ทรงกลมเส้นผ่านศูนย์กลาง 0.95 ซ.ม
- 3.2.3 บีกเกอร์ขนาด 20 และ 1000 มิลลิลิตร
- 3.2.4 เครื่องผสมสารแบบแม่เหล็ก (magnetic stirrer) พร้อมตัวให้ความร้อน (heater)

- 3.2.5 แท่งแม่เหล็กสำหรับกวนสาร (magnetic bar)
- 3.2.6 กระดาษอะลูมิเนียม (aluminum foil)
- 3.2.7 ครกหยกสำหรับดักสาร (agate mortar)
- 3.2.8 ถ้วยอะลูมินา (alumina crucible)
- 3.2.9 แผ่นอะลูมินา (alumina plate)
- 3.2.10 หลอดหยด (dropper)
- 3.2.11 เครื่องอัลตราโซนิก (ultrasonic)
- 3.2.12 เครื่องบดโดยยอยผสมสารด้วยลูกบด (ball mill)
- 3.2.13 เตาไฟฟ้าอุณหภูมิสูง
- 3.2.14 เกรอร์เนียร์คลิปเปอร์ระบบดิจิตอล ความละเอียด 0.01 มิลลิเมตร
- 3.2.15 แม่พิมพ์โลหะสำหรับอัดชิ้นสูตรขนาดเส้นผ่านศูนย์กลางขนาด 1 เซนติเมตร
- 3.2.16 เครื่องอัดระบบไฮดรอลิก
- 3.2.17 กระดาษทรายเบอร์ 600, 800, 1000 และ 1200
- 3.2.18 ผงขัดอะลูมินาขนาดอนุภาค 6 และ 1 ไมโครเมตร
- 3.2.19 เครื่องกำเนิดรังสีเอกซ์ (X-ray diffractrometer) รุ่น X-pert ผลิตโดยบริษัท Philip
- 3.2.20 กล้องจุลทรรศน์อิเล็กตรอนแบบส่องกล้อง (scanning electron microscope, SEM)
รุ่น JEOL JSM 5910 LV ผลิตโดยบริษัท JOEL ประเทศญี่ปุ่น
- 3.2.21 เครื่องวัดไดโอลีกทริก ความต้านทานไฟฟ้า และ อีสเทอเรชัน แบบ Sawyer-Tower circuit
- 3.2.22 เครื่องวัดความแข็งชนิด Knoop microhardness tester (Matzuwa MXT α -7 Type D) และ Vicker microhardness tester (Galileo Microscan OD'98)

3.3. การเตรียมตัวอย่าง

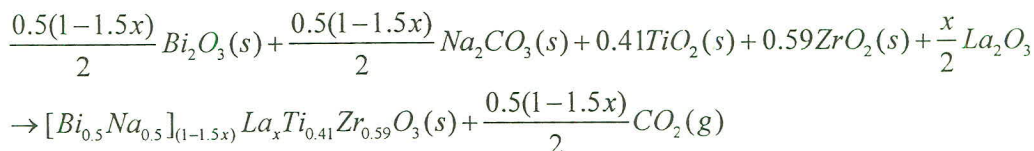
3.3.1 การเตรียมสาร $\text{Bi}_{0.5}\text{Na}_{0.5}\text{TiO}_3$, $\text{Bi}_{0.5}\text{Na}_{0.5}\text{Ti}_{1-x}\text{Zr}_x\text{O}_3$, $\text{Bi}_{0.5}\text{Na}_{0.5}\text{Ti}_{0.41}\text{Zr}_{0.59}\text{O}_3$ เจือด้วยเวนทานัม และ $\text{Bi}_{0.5}\text{Na}_{0.5}\text{Ti}_{0.41}\text{Zr}_{0.59}\text{O}_3$ เจือด้วยไนโตรบียม

3.3.1.1 การเตรียมผง

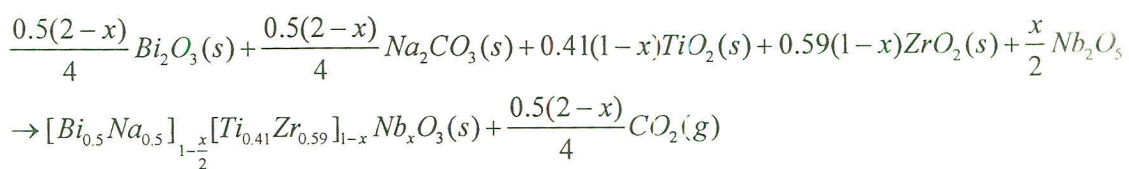
ในการเตรียมผง $\text{Bi}_{0.5}\text{Na}_{0.5}\text{TiO}_3$ และ $\text{Bi}_{0.5}\text{Na}_{0.5}\text{Ti}_{1-x}\text{Zr}_x\text{O}_3$ เมื่อ x เท่ากับ 0, 0.20, 0.35, 0.40, 0.45, 0.60 และ 0.80 เศษส่วนโดยไม่ล ใช้วิธีการเตรียมแบบมิกซ์ออกไซด์ โดยคำนวณจากสมการเคมี



ในการเตรียมผง $\text{Bi}_{0.5}\text{Na}_{0.5}\text{Ti}_{0.41}\text{Zr}_{0.59}\text{O}_3$ เจือด้วยเวนทานัม เมื่อ La เท่ากับ 0, 0.01, 0.02, 0.03 เศษส่วนโดยไม่ล ใช้วิธีการเตรียมแบบมิกซ์ออกไซด์ โดยคำนวณจากสมการเคมี



ในการเตรียมผง $\text{Bi}_{0.5}\text{Na}_{0.5}\text{Ti}_{0.41}\text{Zr}_{0.59}\text{O}_3$ เจือด้วยไนโตรบียม เมื่อ Nb เท่ากับ 0, 0.01, 0.03, 0.05, 0.07 และ 0.09 เศษส่วนโดยไม่ล ใช้วิธีการเตรียมแบบมิกซ์ออกไซด์ โดยคำนวณจากสมการเคมี



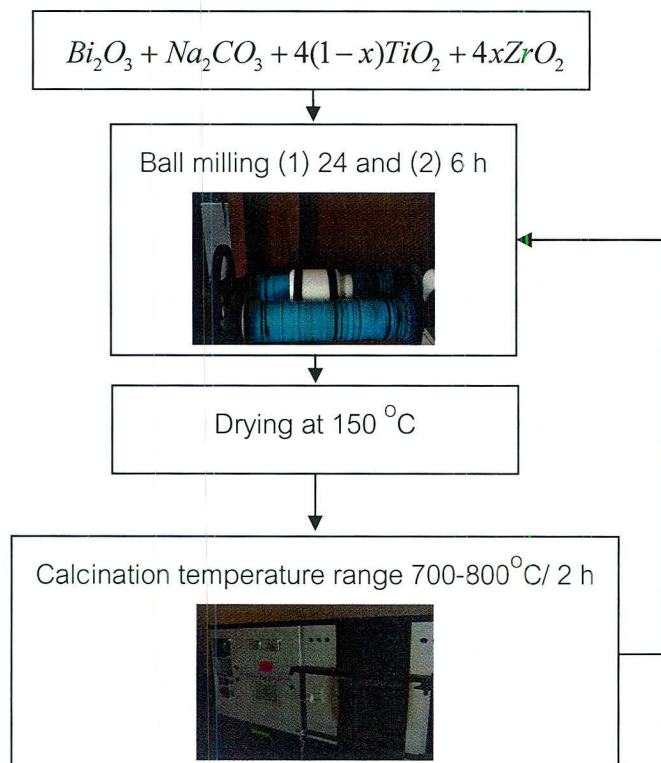
เมื่อ กระบวนการเตรียมผงของสารประกอบทั้งหมด มีวิธีการเตรียมคล้ายคลึงกัน จึงแสดงสรุปดังรูป

3.1 พอกลังเข้าไป และกล่าวถึงรายละเอียดดังต่อไปนี้

- โดยเริ่มจากชั้นสารตั้งต้น (Bi_2O_3 , Na_2CO_3 , TiO_2 , ZrO_2 , La_2O_3 และ Nb_2O_5) นำมารบดผสมกันในกระป๋องพลาสติกที่มีเม็ดบดเซอร์โคเนียม (Zircoria mill ball) โดยใช้ออกทานอลเป็นตัวกลางเป็นเวลา 24 ชั่วโมง
- จากนั้นทำการแยกเม็ดบดออกจากของเหลว แล้วนำมาทำให้แห้ง โดยนำขึ้นเหนาผสานมาไว้บนเตาแผ่นให้ความร้อน (hot plate) ที่อุณหภูมิประมาณ 150°C และคงสารด้วยเท่งคนสาร

(magnetic bar) จนได้ผงเกี๊อบแห้งแล้วนำไปปอก ที่อุณหภูมิต่ำกว่า 100 °C จากนั้นจึงนำมาบดละเอียดด้วยคราบด煞 (agate mortar)

3. แล้วนำมาเผาเคลือบ (calcination) ในช่วงอุณหภูมิ 700-800 °C เป็นการพิจารณาหาอุณหภูมิที่เหมาะสม
4. จากนั้นนำผงสารตั้งต้นทั้งหมด มา ball mill อีกครั้งเป็นเวลา 6 ชั่วโมง เพื่อให้ได้ผงที่มีการเกาะกลุ่มแข็งแน่นอยู่ที่สุด และนำมาทำให้แห้งเหนือน้ำก่อนที่กล่าวมาแล้วข้างต้น จนได้ผงสารประกอบ BNTZ

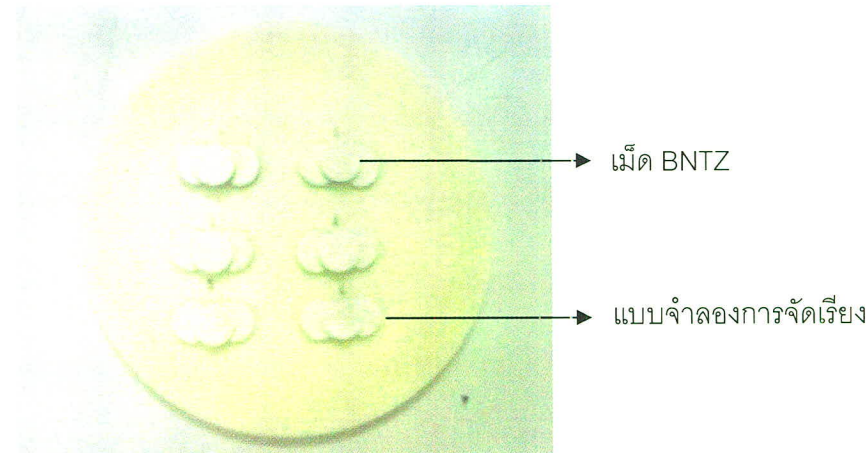


รูป 3.1 ขั้นตอนการเตรียมผง BNTZ

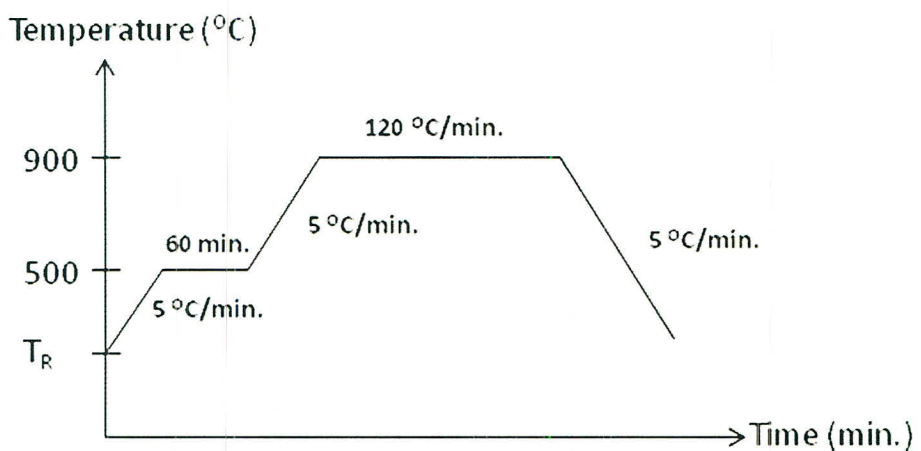
3.3.1.2 การเตรียมเซรามิก

ขั้นตอนการเตรียมเซรามิก แสดงในรูป 3.4 และกล่าวถึงรายละเอียดดังต่อไปนี้

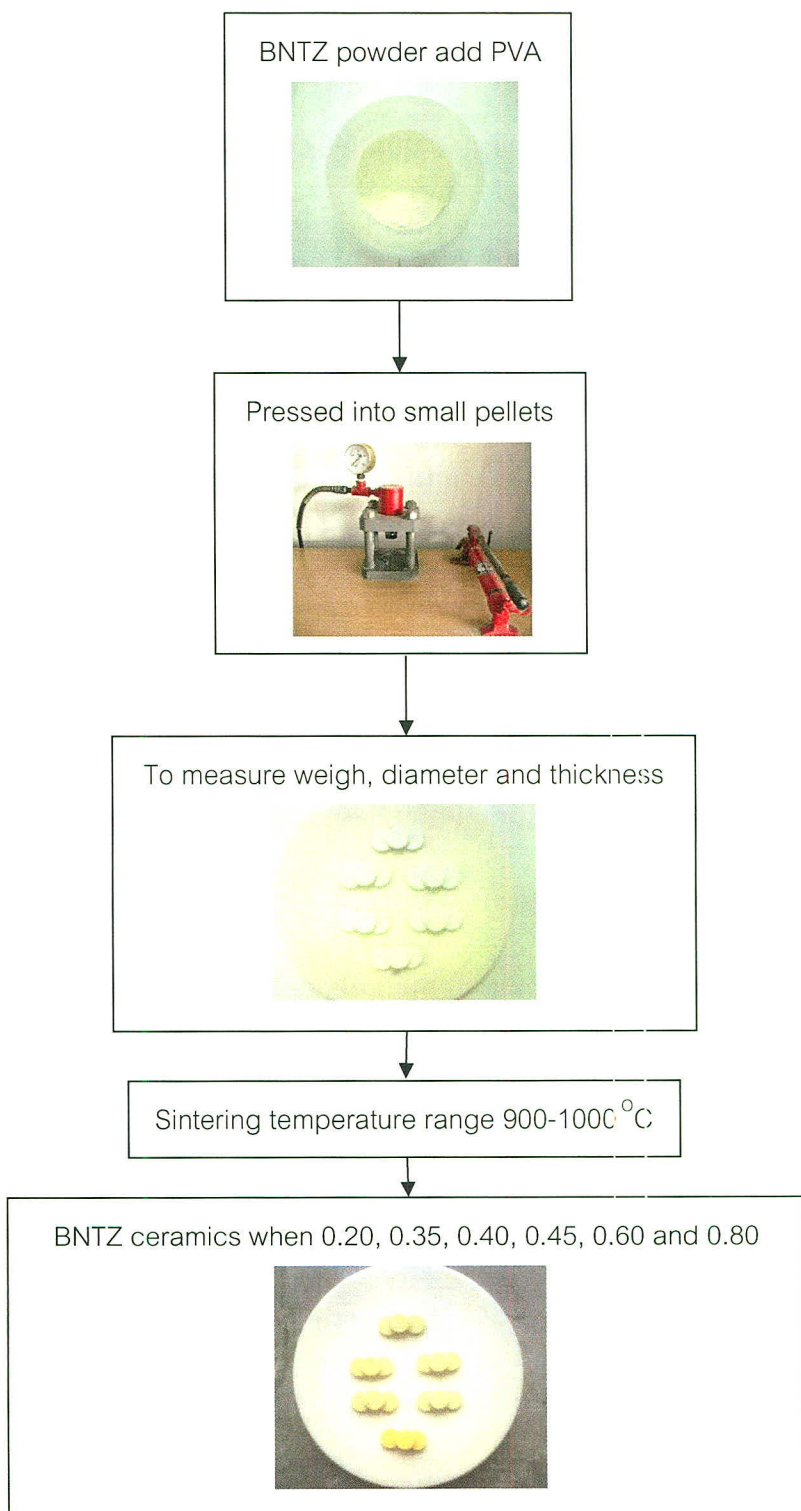
1. บดผง แล้วเติมสารยึดเหนี่ยว (binder) พอลิไวนิลแอลกอฮอล์ (PVA) ความเข้มข้นร้อยละ 3 โดยน้ำหนักเป็นตัวประสานในการขึ้นรูปให้ชิ้นงาน เป็นเวลาประมาณ 5 นาทีจนละเอียด
2. นำผงที่ได้มาทำการอัดขึ้นรูป มีลักษณะเป็นแผ่นกลม (disc) ขนาดเส้นผ่านศูนย์กลาง 10 มิลลิเมตร โดยใช้เครื่องอัดระบบไฮดรอลิกและแม่พิมพ์โลหะด้วยความดัน 1 ตัน เป็นเวลา 15 วินาที
3. นำชิ้นงานที่ผ่านการขึ้นรูปแล้วมาจัดเรียงลงในแผ่นอะลูมิเนียม แล้วนำมายืดฝ่าเพื่อป้องกันลิงปนเปื้อนระหว่างการเผา ดังรูป 3.2
4. นำไปเผาชิ้นเทอร์ดังรายละเอียดแสดงในแผนผังรูป 3.3 คือ จะทำการเผาแซที่อุณหภูมิ 500 องศาเซลเซียส เป็นเวลา 1 ชั่วโมง เพื่อกำจัด PVA ออกจากเนื้อเซรามิก จากนั้นจึงเพิ่มอุณหภูมิจนถึงอุณหภูมิชิ้นเทอร์ ซึ่งในการทดลองนี้จะทำการชิ้นเทอร์เท่ากับ 900°C ด้วยอัตราการขึ้น/ลงของอุณหภูมิ 5 องศาเซลเซียส/นาที เป็นเวลา 6 ชั่วโมง



รูป 3.2 ลักษณะการจัดเรียงเม็ด BNTZ สำหรับเผาชิ้นเทอร์



รูป 3.3 แผนผังการใช้อุณหภูมิในการเผาชินเทอร์เซรามิก เมื่อ T_R คือ อุณหภูมิห้อง และ 900°C คือ อุณหภูมิชินเทอร์

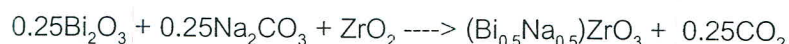


รูป 3.4 แผนภาพขั้นตอนการเตรียมเชวามิก

3.3.2 การเตรียมสารบิสมัทโซเดียมเซอร์โคเนต

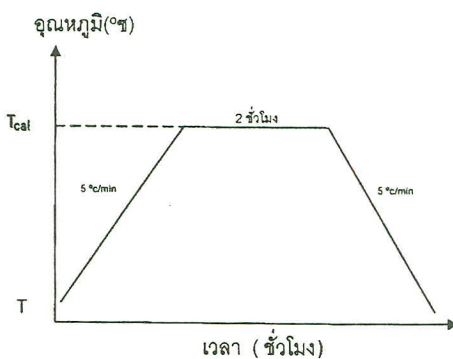
3.3.2.1 การเตรียมผง

ผงบิสมัทโซเดียมเซอร์โคเนตเป็นผงเซรามิกระบบใหม่ ที่ยังไม่ถูกเตรียมด้วยกระบวนการการมิกซ์ออกไซด์ (mixed oxide) ดังนั้นในขั้นตอนการเตรียมผงระบบใหม่ด้วยกระบวนการนี้ จะต้องทำการหาสภาวะเหมาะสมที่สุดในการเตรียม เพื่อให้ได้ผงเซรามิกที่มีเฟสบริสุทธิ์ สภาวะที่ใช้ในการศึกษาการเตรียมผงเซรามิกบิสมัทโซเดียมเซอร์โคเนตประกอบด้วย สภาวะช่วงอุณหภูมิการเผาแคลไชน์ 700 – 850 °C, สภาวะปริมาณสารตั้งต้นที่ต่างกัน และสภาวะการเผาแคลไชน์สองครั้ง โดยใช้ปริมาณสารตั้งต้นตามสมการเคมี



3.3.2.1.1 การเตรียมผงที่ช่วงอุณหภูมิ 700 – 850 °C

หลังจากบดผสมด้วยเม็ดబอลด้วยลูกบดเซอร์โคเนียม เป็นเวลา 24 ชั่วโมงในอุตสาหกรรม เครื่องบดอย ผสมสารแบบ Ball-milling นำสารผสมเข้าอบในเตาอบที่อุณหภูมิ 120 °C เป็นเวลา 24 ชั่วโมงบดผง ผสม เพื่อให้ออนุภาคที่เกากันเป็นก้อนแตกออกจากกัน เผาแคลไชน์ผงผสมที่ช่วงอุณหภูมิ 700 - 850 °C เผาแซ่เป็นเวลา 2 ชั่วโมง ด้วยอัตราขึ้น-ลง 5 °C/min ด้วยเตาไฟฟ้าสำหรับเผาสาร ซึ่งในการทดลองนี้จะเผาแคลไชน์โดยอาศัยวิธีการดังแผนภาพแสดงดังรูป 3.5 สำหรับ การเลือกใช้ช่วงอุณหภูมนี้ เพราะเป็นช่วงอุณหภูมิของการเผาแคลไชน์ผงเซรามิกบิสมัทโซเดียมไททาเนต ซึ่งเป็นต้นแบบของการศึกษาการเตรียมผงเซรามิกบิมัสโซเดียมเซอร์โคเนต



รูป 3.5 กระบวนการทางความร้อนของการเผาเคลือบของผงเซรามิก BNZ

3.3.2.1.2 การเตรียมผงที่ปริมาณสารตั้งต้นต่างกัน

ผงสมบัติใช้เดี่ยมเซอร์โคเนตถูกเจือด้วยสารตั้งต้น Bi_2O_3 , Na_2CO_3 และ ZrO_2 ในช่วงปริมาณการเติม 0 – 15 เปอร์เซ็นต์โดยน้ำหนักของสารตั้งต้น ดังตารางที่ 3.1 โดยผงสมทั้งหมดเตรียมด้วยกระบวนการนิวเคลียร์ แต่ที่อุณหภูมิเคลือบไอน์ที่เหมาะสมที่สุด เป็นเวลา 2 ชั่วโมง การเลือกใช้สภาวะการเตรียมที่ปริมาณสารตั้งต้นต่างกัน เพื่อปริมาณสารตั้งต้นส่งผลถึงความบริสุทธิ์ของผงเซรามิกระบบใหม่นี้

ตาราง 3.1 ผงเซรามิก BNZ ที่ปริมาณสารตั้งต้นต่างกัน

Bi_2O_3	ZrO_2	Na_2CO_3
BNZ/5wt% Bi_2O_3	BNZ/5wt% ZrO_2	BNZ/5wt% Na_2CO_3
BNZ/10wt% Bi_2O_3	BNZ/10wt% ZrO_2	BNZ/10wt% Na_2CO_3
BNZ/15wt% Bi_2O_3	BNZ/15wt% ZrO_2	BNZ/15wt% Na_2CO_3

3.3.2.2.3 การเตรียมผงที่ผ่านการบดให้เนื้อละเอียดและเผาแคลไชน์อีกครั้ง

ผงผสมบิสมัทโซเดียมเซอร์โคเนตกับสารตั้งต้นที่ช่วยในผงเซรามิกมีเฟสบริสุทธิ์มากขึ้น ถูกเผาที่อุณหภูมิแคลไชน์ที่เหมาะสม เป็นเวลา 2 ชั่วโมง ผงเซรามิกผ่านการเผาแคลไชน์ครั้งแรก ถูกบดผสมด้วยเม็ดบลัดด้วยถูกบดเซอร์โคเนียม เป็นเวลา 6 ชั่วโมงในอุตสาหกรรม ด้วยเครื่องบดย่อย ผสมสารแบบ Ball-milling นำผงเซรามิกเข้าอบในเตาอบที่อุณหภูมิ 120 °C เป็นเวลา 24 ชั่วโมง จากนั้นเผาแคลไชน์ผงเซรามิกอีกครั้งที่อุณหภูมิเดิม เผาเป็นเวลา 2 ชั่วโมง ด้วยอัตราขึ้น-ลง 5 °C/min เพื่อให้ผงตั้งตันที่เหลืออยู่ทำปฏิกิริยาที่อุณหภูมิสูงอีกครั้ง การเลือกใช้สภาวะการเผาแคลไชน์สองครั้ง เพราะลักษณะของผงเซรามิกที่ผ่านการเผาแคลไชน์ครั้งแรก มีลักษณะค่อนข้างแข็ง และมีขนาดใหญ่ คาดว่า การบด และการเผาแคลไชน์อีกครั้ง ช่วยให้ผงเกิดปฏิกิริยาได้อย่างสมบูรณ์

3.3.3 การเตรียมสารบิสมัทโซเดียมไทเทเนตเจือโคบอลต์

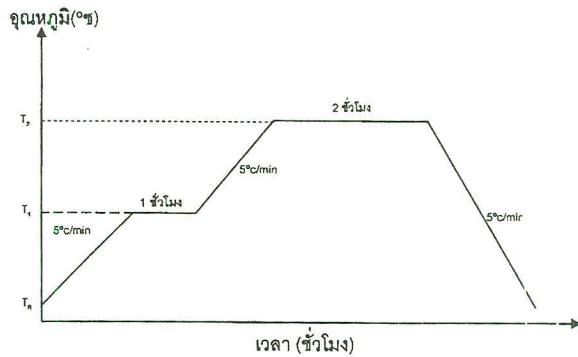
3.3.3.1 การเตรียมผงและเซรามิก

ผง ($\text{Bi}_{0.5}\text{Na}_{0.5}\text{TiO}_3$: BNT) ที่เจือด้วย Co ด้วยวิธีผสมแบบมิกซ์ออกไซด์ (mixed oxide) โดยเริ่มจากการนำสารตั้งต้น ได้แก่ บิสมัทออกไซด์ (Bi_2O_3 , >98%, Fluka), โซเดียมคาร์บอเนต (Na_2CO_3 , 99.5%, Carlo Erba) ไททาเนียมออกไซด์ (TiO_2 , >99%, Riedel de Haen) และโคบอลต์ออกไซด์ (CoO , >98%, Aldrich) ในอัตราส่วนดังสมการ



โดยที่ $x = 0.005, 0.01, 0.02$ และ 0.03 ตามลำดับบดผสมด้วยเม็ดบลัดด้วยถูกบดเซอร์โคเนียม เป็นเวลา 24 ชั่วโมงในอุตสาหกรรม ด้วยเครื่องบดย่อย ผสมสารแบบ Ball-milling นำสารผสมเข้าอบในเตาอบที่อุณหภูมิ 120 °C เป็นเวลา 24 ชั่วโมงบดผงผสม เพื่อให้อุปกรณ์ที่เกากันเป็นก้อนแตกออกจากกัน เผาแคลไชน์ผงผสมที่อุณหภูมิ 800 °C เผาแค่เป็นเวลา 2 ชั่วโมง ด้วยอัตราขึ้น-ลง 5 °C/min ด้วยเตาไฟฟ้าสำหรับเผาสาร ในการทดลอง จะใช้อุณหภูมิในการแคลไชน์ 800 °C ทำการเตรียมเซรามิกโดยอาศัยวิธีการดังแผนภาพแสดง ดังรูป 3.6 ด้วยการนำผงที่เตรียมได้มาทำการอัดขึ้นรูป โดยใช้ Polyvinyl Alcohol (PVA) ความเข้มข้นร้อยละ 3 โดยน้ำหนัก เป็นตัวช่วยในการขึ้นรูปชิ้นงานให้มีลักษณะเป็นเม็ดขนาดเส้นผ่านศูนย์กลาง 10

มิลลิเมตร โดยใช้เครื่องอัดระบบไฮดรอลิกและแม่พิมพ์โลหะ ด้วยความดัน 1 ตัน เป็นเวลา 15 วินาที แล้วจึงนำชิ้นงานที่ผ่านการขึ้นรูปแล้วมาจัดเรียงบนแผ่นอลูมินา เสร็จแล้วนำชิ้นงานไปเผา ชิ้นเตอร์ที่อุณหภูมิ 1050°C โดยเผาแข็งเป็นเวลา 2 ชั่วโมง ด้วยอัตราขึ้น-ลง $5^{\circ}\text{C}/\text{min}$ สำหรับ การเลือกใช้อุณหภูมนี้ เพราะเป็นอุณหภูมิการเผาขึ้นรูปของเซรามิก BNT



รูป 3.6 กระบวนการทางความร้อนของการเผาชิ้นเตอร์ของเซรามิก BNZ

3.4 การตรวจสอบสมบัติทางกายภาพของเซรามิก

การหาค่าความหนาแน่น

ในการหาค่าความหนาแน่นของเซรามิก ใช้วิธีการของอาร์คิมิดิส (Archimedes' principle) คือ เมื่อวัตถุมอญในของเหลว วัตถุนั้นจะพยุงขึ้นด้วยแรงลอยตัว (Buoyant Force) ซึ่งมีขนาดเท่ากับ น้ำหนักของของเหลวที่ถูกด้วยแทนที่ในวัตถุ ถือเป็นวิธีการเหมาะสมกับของแข็งทุกชนิด ทั้งๆ ตามและ ลอย แต่ไม่ทำปฏิกิริยากับน้ำหรือสารละลายน้ำ โดยมีขั้นตอนการทดลองดังนี้

1. นำเม็ดเซรามิกไปต้มในน้ำกลันเป็นเวลา 4 ชั่วโมง แล้วทิ้งไว้ให้เย็นเป็นเวลา 1 วัน
2. นำเม็ดเซรามิกไปชั่งด้วยวิธีการแทนที่น้ำโดยใช้เครื่องชั่งดังรูป 3.7 แล้วบันทึกค่าที่ได้เป็น น้ำหนัก W_3
3. นำเม็ดเซรามิกไปชั่งในอากาศบันทึกเป็นน้ำหนัก W_2 และนำไปเม็ดอบที่อุณหภูมิ 200 องศาเซลเซียส เป็นเวลา 1 วัน
4. ทำการชั่งน้ำหนัก W_1 แล้วบันทึกค่า จากนั้นแทนค่าในสมการ 3.1

$$\rho_{BNTZ} = \frac{W_1}{W_2 - W_3} \times \rho_{H_2O} \quad (3.1)$$

เมื่อ ρ_{BNTZ} คือ ความหนาแน่นของเซรามิก ρ_{H_2O} คือ ความหนาแน่นของน้ำขณะทำการทดลอง W_1 คือ น้ำหนักของเซรามิกที่ชั่งในอากาศขณะแห้ง W_2 คือ น้ำหนักของเซรามิกที่ชั่งในอากาศขณะ เปียก และ W_3 คือ น้ำหนักของเซรามิกที่ชั่งในน้ำ



รูป 3.7 เครื่องชั่งอัตโนมัติที่สามารถชั่งได้ทั้งในน้ำและอากาศ

3.5 การตรวจสอบองค์ประกอบทางเคมีด้วยเทคนิคการเลี้ยวเบนของรังสีเอกซ์

งานวิจัยนี้ใช้เทคนิคการเลี้ยวเบนของรังสีเอกซ์ในการตรวจสอบองค์ประกอบทางเคมีและชนิดของเฟสที่เกิดขึ้น โดยอาศัยหลักการการตัดกรายทบของรังสีเอกซ์ลงบนพื้นผิวของวัสดุแล้วเกิดการสะท้อนและเลี้ยวเบน โดยมีมุมการเลี้ยวเบนแตกต่างกันไปขึ้นอยู่กับโครงสร้างผลึกและระนาบ (hkl) ของที่รังสีที่ตัดกรายทบภายใต้แสง ซึ่งพบว่ารูปแบบการเลี้ยวเบนของรังสีเอกซ์ของแต่ละชนิดจะมีความจำเพาะเฉพาะเจาะจงสำหรับวัสดุนั้นๆ ดังนั้นมีเครื่องมือตรวจวัด (detector) มารองรับรังสีเอกซ์ที่สะท้อนกลับมาจากวัสดุในตำแหน่งต่างๆ ก็สามารถตรวจสอบได้ว่าวัสดุนั้นเป็นสารประเภทใด โดยพิจารณาความสัมพันธ์ค่ามุมของเบราก์ (Bragg's angle) และความเข้มของพิรุณสีเอกซ์ของรูปแบบการเลี้ยวเบนที่ปรากฏ ซึ่งสารแต่ละชนิดจะมีรูปแบบการเลี้ยวเบนที่มีลักษณะเฉพาะแตกต่างกันไป จึงสามารถนำรูปแบบการเลี้ยวเบนของรังสีเอกซ์ที่ตรวจสอบมาเปรียบเทียบกับข้อมูลชนิดต่างๆ ที่มีฐานข้อมูลมาตรฐาน (JCPDS file) ได้เพื่อตรวจสอบชนิดของเฟสที่เกิดขึ้น ซึ่งการเตรียมชิ้นงานในการนำไปวิเคราะห์ต้องตามขั้นตอนดังนี้

ขั้นตอนการเตรียมชิ้นงานผง

โดยเริ่มจากการนำผงและชิ้นงานเซรามิกที่เตรียมได้มาอัดไว้ใน holder จากนั้นนำไปวางที่บริเวณซ่องสำหรับวางชิ้นงานในเครื่อง X-ray diffractrometer และจึงเดินเครื่องโดยใช้เบ้าทองแดง ($CuK\alpha$) ที่มีค่าความยาวคลื่นประมาณ 1.54 \AA จากค่ามุม 2θ ที่ 20 องศา ไปจนถึงที่ค่ามุม 2θ ที่เครื่องเอกซ์เรย์สามารถทำการตรวจวัดได้

ขั้นตอนการเตรียมชิ้นงานเซรามิก

1. ขัดผิวน้ำชิ้นงานเซรามิกด้วยกระดาษทรายที่ต้องการนำไปวิเคราะห์เพื่อกำจัดสิ่งสกปรก บริเวณผิวออก
2. นำเซรามิกที่ขัดผิวน้ำออกแล้วนำไปทำความสะอาดด้วยเครื่องอัลตราโซนิก เป็นเวลา 30 นาที โดยใช้เคมีภาระเป็นตัวกลาง
3. หลังจากทำความสะอาดแล้วนำชิ้นงานไปอบให้แห้งในเตาที่มีอุณหภูมิประมาณ 150°C เป็นเวลา 24 ชั่วโมง
4. นำชิ้นงานที่อบแห้งแล้วไปติดบนฐานกระจกที่เตรียมไว้ด้วยดินน้ำมัน และนำเข้าเครื่องเพื่อวิเคราะห์

3.6 การตรวจสอบโครงสร้างทางจุลภาคด้วยกล้องจุลทรรศน์อิเล็กตรอนแบบส่องกราด

ขั้นตอนการเตรียมชิ้นงานผง

ในการถ่ายภาพด้วย SEM ของผง เพื่อศึกษาลักษณะโครงสร้างทางจุลภาค และขนาดอนุภาค ผงที่ผ่านการเผาแคลไซด์

1. นำผง BNTZ ที่ผ่านการบดให้ละเอียด ทำให้กระจายตัว (dispersion) โดยนำไปอัลตราโซนิก มีเคมีภาระเป็นตัวกลางในการกระจายตัว เป็นเวลา 30 นาที
2. ติดเทปทองแดงบนแท่นทองเหลือง (stub)
3. เมื่อครบ 30 นาที นำแท่นทองเหลืองวางบนเตาแห่งน้ำร้อนที่อุณหภูมิประมาณ 50°C และใช้หลอดหยดดูดที่ผ่านการทำให้กระจายตัวแล้ว ประมาณ 1 หยด หยดลงบน

เทปทองแดงที่ติดไว้ สารละลายจะติดแห้งติดกับแท่นทองเหลือง แล้วนำไปอบเพื่อให้ความชื้นในเตาที่มีอุณหภูมิไม่เกิน 100°C

4. จากนั้นทำการเคลือบผิวของชิ้นงานด้วยทองคำโดยใช้เทคนิคสปัตเตอร์ริง (sputtering) เป็นเวลา 30 วินาที
5. ทำการตรวจสอบชิ้นงานด้วยกล้องจุลทรรศน์อิเล็กตรอนแบบส่องกราดโดยเลือกใช้โนมดการถ่ายภาพแบบ secondary electron (SEI) และ backscattering electron (BEI) ดังรูป 3.8
6. เมื่อถ่ายภาพ SEM แล้ว จึงเลือกจุดหรือพื้นที่ในการตรวจสอบนิดและปริมาณธาตุด้วยเทคนิคการกระจายพลังงานของรังสีเอกซ์ (energy dispersive X-ray analysis; EDX) เพียงเปลี่ยนโนมดในการวิเคราะห์

ขั้นตอนการเตรียมชิ้นงานเซรามิก

นำชิ้นงานเซรามิกที่ผ่านการเผาเซินเทอร์แล้ว ไปทำการตรวจสอบลักษณะโครงสร้างจุลภาคด้วยกล้องจุลทรรศน์อิเล็กตรอนแบบส่องกราด (SEM) โดยจะทำการตรวจสอบทั้งพื้นผิวหลังการเซินเทอร์ (as-received surfaces) และรอยหัก (fracture surfaces) รวมถึงตรวจสอบพื้นผิวที่ผ่านการขัด (polished surfaces) ด้วยกระดาษทรายเบอร์ 600, 800, 1000 และ 1200 และขัดด้วยผงอะลูมีนาขนาด 6 และ 1 ไมโครเมตร แล้วทำ thermal etching ที่อุณหภูมิ 800 °C เป็นเวลา 15 นาที โดยมีขั้นตอนในการเตรียมชิ้นงานเซรามิกดังนี้

1. ชิ้นงานไปติดบนแท่นทองเหลือง (stub) ด้วยเทปກาวส่องหน้าแบบบางโดยจัดให้รอยหัก และพื้นผิวของชิ้นงานที่ต้องการศึกษาวางอยู่ในแนวที่เหมาะสมต่อการตรวจสอบด้วย SEM
2. ทำการเคลือบผิวของชิ้นงานด้วยทองคำโดยใช้เทคนิคสปัตเตอร์ริง (sputtering) เป็นเวลา 5 นาที
3. ทำการตรวจสอบชิ้นงานด้วยกล้องจุลทรรศน์อิเล็กตรอนแบบส่องกราดดังรูป 3.8 โดยใช้เทคนิค secondary electron (SEI) เพื่อนำไปหาขนาดของเกรน และ backscattering electron (BEI) เพื่อศึกษาเฟสบนพื้นผิวชิ้นงาน



รูป 3.8 กล้องจุลทรรศน์อิเล็กตรอนแบบส่องการดู (SEM)

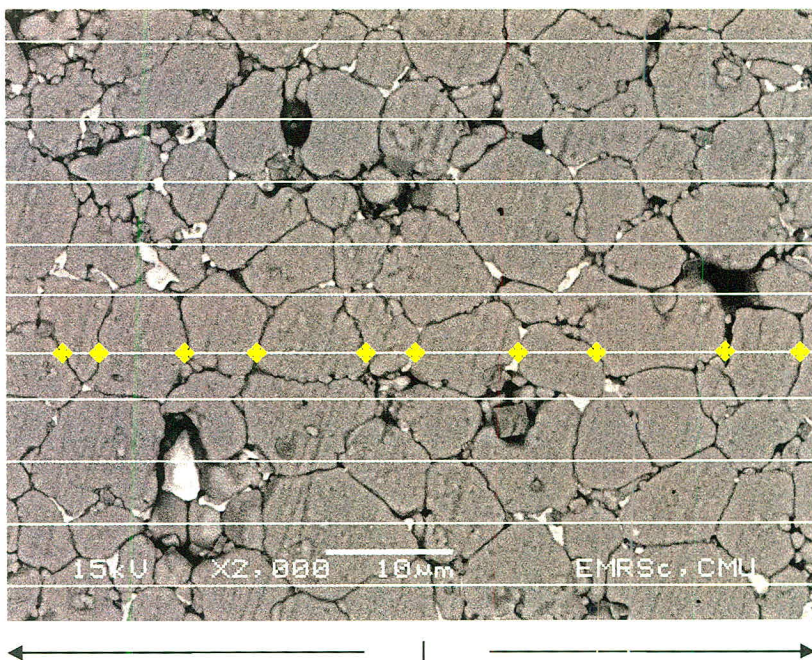
การหาขนาดของเกรน

วิธีการหาค่าขนาดเกรนของเซรามิก BNTZ เลือกใช้วิธีการแบบ จุดตัดเส้นตรงเฉลี่ย (mean linear intercept) ถือว่าเป็นวิธีการที่เหมาะสมที่สุด แสดงดังรูป 3.9

1. เริ่มจากการลากเส้นทดสอบผ่านภาพ SEM แบบสุ่มหลายตำแหน่ง ซึ่งยาวเท่ากับ L
2. นับจำนวนจุดตัดเส้นทดสอบบริเวณขอบเกรน (N_L)
3. ใช้สมการ 3.2 ในการคำนวณหาขนาดเกรนเฉลี่ยบนพื้นผิวชิ้นงานเซรามิก

$$D_L = \frac{L}{N_L} \quad (3.2)$$

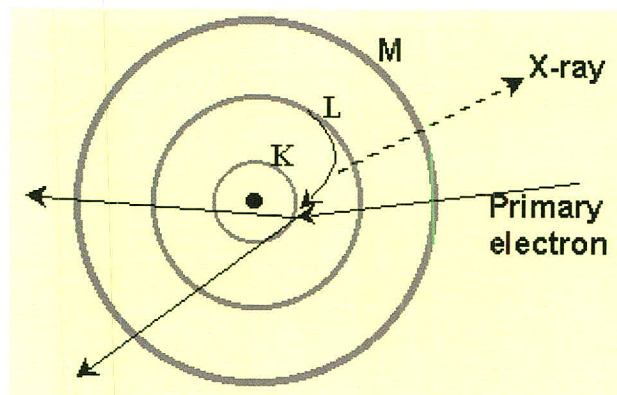
เมื่อ L คือ ความยาวของเส้นทดสอบ, N_L คือ จำนวนจุดตัดต่อหนึ่งหน่วยความยาวของเส้นทดสอบ (♦) D_L คือ ขนาดเกรนเฉลี่ย



รูป 3.9 วิธีการหาขนาดของเกรนแบบ Mean linear intercept

3.7 การตรวจสอบชนิดและปริมาณธาตุด้วยเทคนิคการกระจายพลังงานของรังสีเอกซ์

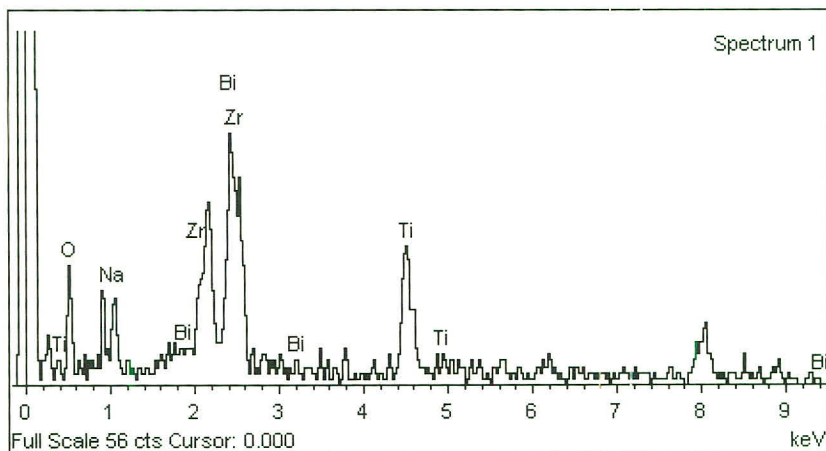
การตรวจสอบชนิดและปริมาณธาตุด้วยเทคนิคการกระจายพลังงานของรังสีเอกซ์ (energy dispersive X-ray analysis; EDX) มีหลักการจากการกระจายของอิเล็กตรอนในชั้นงาน แล้วปลดปล่อยรังสีเอกซ์ออกมาซึ่งรังสีเอกซ์ที่ปล่อยออกมานั้น เป็นลักษณะเฉพาะของแต่ละธาตุที่ปล่อยออกมา ซึ่งในขณะประกอบด้วยนิวเคลียสที่มีประจุบวก และอิเล็กตรอนที่มีประจุลบอยู่รอบๆ ทำให้เกิดความแตกต่างระหว่างประจุภายในขณะ แต่ประจุทั้งสองจะต้องสมดุลกันในแต่ละธาตุ การเรียงตัวของอิเล็กตรอนรอบนิวเคลียสของอะตอมนั้น เป็นที่เข้าใจกันมาเป็นเวลานานแล้วว่าจะเป็นลักษณะของวงอิเล็กตรอน (electron shells) โดยอิเล็กตรอนชั้นในสุดจะมีพลังงานต่ำสุด แต่มีพลังงานพันธะที่แข็งแรงที่สุด และอิเล็กตรอนชั้นนอกนั้นจะมีพลังงานศักย์สูงแต่พลังงานพันธะต่ำ และระดับชั้นพลังงานชั้นต่างๆ ของอิเล็กตรอนจะเรียงจากวงในออกไปนอกได้ดังนี้ K, L, M, N, O, P และ Q ตามลำดับ และเนื่องจากความแตกต่างของระดับพลังงานยึดเหนี่ยวของอิเล็กตรอนรอบๆ นิวเคลียส ทำให้อิเล็กตรอนตั้งต้น (primary electron) ที่มีพลังงานศักย์มากกว่า จึงมักจะไปแทนที่ในระดับพลังงานชั้น K หากกว่าชั้น L



รูป 3.10 หลักการเกิดรังสีเอกซ์

การชนของอิเล็กตรอนตั้งต้น จะเข้าไปชนอิเล็กตรอนภายในวงให้หลุดออกจากไปจากอะตอม จึงเกิดสภาวะที่ถูกกระตุ้น คือ ไม่เสถียร จึงมีความพยายามทำให้เกิดการเสถียร โดยการที่อิเล็กตรอนในระดับชั้นพลังงานวงนอกจะเข้าไปแทนที่ โดยกระโดดลงไปแทนที่ซึ่งว่างที่อิเล็กตรอนวงในหลุดออกจากไป

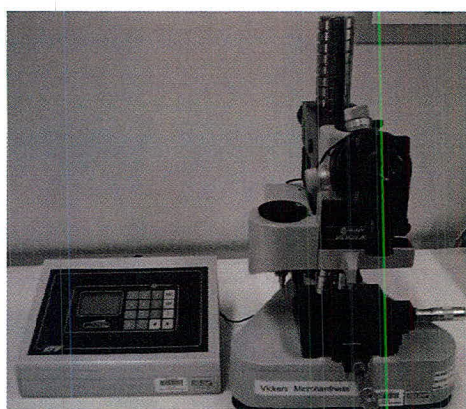
แล้วทำให้เกิดการปลดปล่อยพลังงานส่วนเกินของในรูปของรังสีเอกซ์ (X-ray photon) ซึ่งมีพลังงานเท่ากับความแตกต่างของอิเล็กตรอนจากระดับชั้นพลังงานที่เข้ามาแทนที่กันดังรูป 3.10 และตัวรับสัญญาณ จะรับรังสีเอกซ์ที่ถูกปลดปล่อยออกมานับจำนวนและพลังงานที่ปล่อยออกมานำเสนอในรูปของกราฟระหว่างระดับพลังงานและจำนวนที่ปลดปล่อยออกมาก็จะ อิเล็กตรอนในแต่ละชั้นของธาตุต่างๆ ก็จะมีพลังงานแตกต่างกันไป ซึ่งเป็นลักษณะเฉพาะตัวดังนั้น เรายสามารถวิเคราะห์ขึ้นงานได้ว่า มีองค์ประกอบของธาตุใดบ้าง และมีปริมาณเป็นสัดส่วนเท่าใด



รูป 3.11 ลักษณะข้อมูลที่ได้จากการวิเคราะห์ EDX

3.8 การตรวจสอบสมบัติเชิงกลของเซรามิก

นำเม็ดเซรามิก BNTZ ไปขัดด้วยกระดาษทรายเบอร์ 800, 1000 และ 1200 ให้เรียบแล้วได้รูปแบบเพื่อสามารถมองเห็นรอยกดได้อย่างชัดเจน แล้วนำไปวัดค่าความแข็งด้วยวิธีการกด (indentation technique) โดยนำชิ้นงานที่ผ่านการเตรียมมาแล้วทดสอบด้วยเครื่องวัดค่าความแข็งจุลภาค (microhardness tester) โดยรูปแบบของหัวกดแบบวิกเกอร์ (Vicker hardness testing, HV) ดังแสดงในรูปที่ 3.12 และนูป (Knoop hardness testing, HK) ดังแสดงในรูป 3.13 ตามลำดับ จากนั้นวัดค่าความยาวของรอยแยกที่เกิดจากการกดด้วยหัวกดแบบวิกเกอร์ (crack length, c) ด้วยกล้องจุลทรรศน์แสง (light microscope) นำค่าความแข็งในหน่วยของนูปที่ได้ไปคำนวนหาค่ามอดูลัสของยัง (Young's modulus, E) ตามสมการที่ 3.5 และค่าความต้านทานต่อรอยแยก (fracture toughness, K_{IC}) ตามสมการที่ 3.6



รูป 3.12 เครื่องวัดแข็งแบบวิกเกอร์ (Vicker hardness indentation)



รูป 3.13 เครื่องวัดแข็งแบบนูป (Knoop hardness indentation)

3.8.1 ค่าความแข็งแบบวิกเกอร์

ในเซรามิก BNTZ เลือกใช้หนัก 1000 กรัม ในกราฟทดสอบความแข็ง เมื่อทำการกดชิ้นงานแล้ว ทราบค่า ความยาวของรอยกด (d) จึงสามารถนำไปคำนวณค่าความแข็งแบบวิกเกอร์ได้ดังสมการที่ 3.3

$$HV = 1.854 \frac{P}{d^2} \quad (3.3)$$

เมื่อ HV คือ ค่าความแข็งในหน่วยของวิกเกอร์ หน่วย GPa

P คือ น้ำหนักที่ให้แก่หัวกด หน่วย N

d คือ ค่าความยาวเฉลี่ยของเส้นที่แยกมุนของวิกเกอร์ หน่วย μm

3.8.2 ค่าความแข็งแบบบูรณา

ในเซรามิก BNTZ เลือกใช้หนัก 300-500 กรัม เวลา 10 วินาที ในการทดสอบความแข็ง เมื่อทำการทดสอบชิ้นงานแล้วทราบค่า ความやはร์เฉลี่ยของเส้นทแยงมุ่งของวิกเกอร์ (d) จึงสามารถนำไปคำนวณค่าความแข็งแบบวิกเกอร์ได้ดังสมการที่ 3.4

$$HK = 14.23 \frac{P}{d^2} \quad (3.4)$$

เมื่อ HV คือ ค่าความแข็งในหน่วยของนูป หน่วย GPa

P คือ น้ำหนักที่ให้แก่หัวกด หน่วย N

d คือ ค่าความyahร์ของเส้นทแยงมุ่งด้านyahร์ของนูป หน่วย μm

3.8.3 ค่ามอดูลัสของยัง (Young's modulus)

เมื่อทดสอบความแข็งแบบบูรณา สามารถนำค่าต่างๆ ที่ได้มาแทนในสมการที่ 3.5 เพื่อทราบค่ามอดูลัสของยัง

$$E = \alpha HK \left(\frac{b}{a} - \frac{b'}{a'} \right)^{-1} \quad (3.5)$$

เมื่อ HK คือ ค่าความแข็งแบบบูรณา

b/a คือ อัตราส่วนระหว่างเส้นทแยงมุ่งของหัวกดด้านสันต่อเส้นทแยงมุ่งของหัวกดด้านyahร์หัวกดนูป เท่ากับ 1/7.11

b'/a' คือ อัตราส่วนของเส้นทแยงมุ่งของรอยกดด้านสันต่อด้านyahร์

α คือ ค่าคงที่จากการทดลองของ Marshell และคณะ พบร่วมกับค่าประมาณ 0.45

3.8.4 ค่าความต้านทานต่อรอยแยก (Fracture toughness)

เมื่อทราบค่าความแข็งแบบวิกเกอร์ ค่ามอดูลัสของยัง และความยาวของรอยแยก
จากรอยกัดแบบวิกเกอร์ มาแทนค่าในสมการที่ 3.6 จึงทราบค่าความต้านทานต่อรอยแยก

$$K_{IC} = 0.016 \left(\frac{E}{HV} \right)^{1/2} \left(\frac{P}{c^{3/2}} \right) \quad (3.6)$$

เมื่อ K_{IC} คือ ความต้านทานต่อการรอยแตก หน่วย $\text{MPa.m}^{1/2}$

E คือ มอดูลัสของยัง หน่วย Pa

HV คือ ค่าความแข็งในหน่วยของวิกเกอร์ หน่วย Pa

P คือ น้ำหนักที่กด หน่วย N

c คือ ความยาวของรอยแยก หน่วย m

3.9 การตรวจสอบสมบัติทางไฟฟ้าของเซรามิก

3.9.1 สมบัติไดอิเล็กทริก

การตรวจสอบค่าคงที่ไดอิเล็กทริก (relative permittivity, ϵ_r) และแฟกเตอร์การสูญเสียในรูปของความร้อนของไดอิเล็กทริก (dissipation factor; $\tan \delta$) ในการวัดค่าคงที่ไดอิเล็กทริก และแฟกเตอร์การสูญเสียในรูปของความร้อนของไดอิเล็กทริกสามารถหาได้โดยอาศัยเครื่องวัดไดอิเล็กทริก ซึ่งสามารถวัดค่าความจุไฟฟ้า C และ $\tan \delta$ ในช่วงความถี่ $1\text{kHz} - 100\text{kHz}$ ในช่วงอุณหภูมิห้องของศากเซลเซียส โดยมีขั้นตอนการทดลองดังนี้

1. นำเม็ดเซรามิกไปขัดด้วยกระดาษทรายเบอร์ต่างๆ ให้เรียบและได้ระนาบ
2. วัดค่าความหนาและเส้นผ่านศูนย์กลางของเซรามิกหลังขัด
3. นำเม็ดเซรามิกไปทำข้าวไฟฟ้า โดยทาภาวดี (silver paint) แล้วนำไปเผา
4. นำเม็ดเซรามิกไปทำการวัดหาค่า C และ $\tan \delta$ ด้วยเครื่องมือดังรูป 3.14 ในช่วงความถี่ $1\text{kHz}-100\text{kHz}$ และนำไปคำนวณหาค่า ϵ_r ดังสมการ 3.7

$$C = \frac{\epsilon_0 \epsilon_r A}{d} \quad (3.7)$$

เมื่อ C คือ ค่าความจุไฟฟ้า หน่วย Coulomb/volt หรือ F

ϵ_0 คือ 8.85×10^{-12} หน่วย F/m

ϵ_r คือ ค่าสภายอมสัมพัทธ์ หรือค่าคงที่ไดอิเล็กทริกของสารนั้น

A คือ พื้นที่หน้าตัดของเม็ดเซรามิก หน่วย mm^2

d คือ ความหนาของเม็ดเซรามิก หน่วย m

3.9.2 ค่าการนำไฟฟ้าและความต้านทานไฟฟ้า

เมื่อวัดค่าไดอิเล็กทริก และแฟกเตอร์การสูญเสียในรูปของความร้อนของไดอิเล็กทริก เรียบร้อยแล้ว จากนั้นทำการวัดค่าความต้านทาน เพียงเปลี่ยนเป็นโหมด CR เมื่อ C คือค่าความจุไฟฟ้า และ R คือ ความต้านทาน จากนั้นนำค่า R มาแทนในสมการที่ 3.8 จึงได้ค่าความสามารถในการต้านทานไฟฟ้า (ρ) ออกมาก เมื่อทราบความสามารถในการต้านทานไฟฟ้า (ρ) แทนค่าลงในสมการ 3.9 จึงสามารถทราบความสามารถในการนำไฟฟ้าได้ (σ)

$$R = \rho \frac{l}{A} \quad (3.8)$$

$$\rho = \frac{1}{\sigma} \quad (3.9)$$

เมื่อ R คือ ความต้านทานต่อกระแสไฟฟ้า หน่วย Ω

ρ คือ ค่าสัมประสิทธิ์ความต้านทาน หน่วย $\Omega \cdot \text{m}$

l คือ ความหนาของเม็ดเซรามิก หน่วย mm

A คือ พื้นที่หน้าตัดของเม็ดเซรามิก หน่วย mm^2

σ คือ สัมประสิทธิ์การนำไฟฟ้า หน่วย $(\Omega \cdot \text{m})^{-1}$ หรือ $\text{S} \cdot \text{m}^{-1}$

3.10 การตรวจสอบสมบัติเฟอร์โรอิเล็กทริกของเซรามิก

การหาค่าโพลาไรเซชันคิมตัว ค่าสภายอมสัมพัทธ์และการเกิดวงวนไฮสเทอเรซิส (P-E hysteresis loop) ของเซรามิก BNTZ การทดลองนี้จะศึกษาพฤติกรรมการเกิดวงวนไฮสเทอเรซิส (P-E hysteresis loop) ของเซรามิก BNTZ

นั้นสามารถทำการทดสอบได้โดยใช้เครื่องมือที่เรียกว่า Sawyer-Tower circuit โดยมีขั้นตอนการทดลองดังต่อไปนี้

1. นำเซรามิก BNTZ ที่ต้องการทดสอบมาทำการขัดด้วยกระดาษทรายเบอร์ 800 และ 1000 ตามลำดับเพื่อให้ชิ้นงานตัวอย่างเรียบและได้ระนาบ
2. ทำการเงินบริเวณพื้นผิวหน้าของชิ้นงานตัวอย่างทั้งสองด้าน แล้วนำไปอบเพื่อให้การเงินแห้ง แล้วนำมาทดสอบการนำไฟฟ้าด้วยมัลติมิเตอร์
3. เริ่มการนำมาระบบ จากนั้นใช้ตัวจับซึ่งอยู่ในน้ำมันซิลิโคนจับชิ้นงานตัวอย่างไว้ แล้วเริ่มให้สนามไฟฟ้าแก่ชิ้นงานตัวอย่าง โดยจะให้สนามไฟฟ้าตั้งแต่ศูนย์จนถึงสนามไฟฟ้าที่มากที่สุดที่จะทำให้โพลาไรเซชันของชิ้นงานตัวอย่างเกิดการอิมตัว หรือเกิดการเบรก (break down) ของชิ้นงานตัวอย่างขึ้น
4. ผลที่ได้จะออกมายูปของวงวนยิสเทอรีซิส นำวงวนยิสเทอรีซิสที่ได้มาหาค่าโพลาไรเซชันอิมตัว (spontaneous polarization; P_s) ค่าสภาพคงเหลือของโพลาไรเซชัน (remanent polarization; P_r) และค่าสนามบลลังแม่เหล็ก (coercive field; E_c) [40] โดยที่
 - ค่าสภาพคงเหลือของโพลาไรเซชัน เป็นค่าโพลาไรเซชันที่สนามไฟฟ้ามีค่าเป็นศูนย์
 - ค่าโพลาไรเซชันอิมตัว เป็นค่าโพลาไรเซชันที่ชิ้นงานตัวอย่างเกิดการอิมตัวหลังจากได้รับ สนามไฟฟ้า ซึ่งก็คือโพลาไรเซชันต่ำแห่งที่มีสนามไฟฟ้าสูงที่สุด
 - ค่าสนามบลลังแม่เหล็ก เป็นค่าสนามไฟฟ้าที่ต่ำแห่งโพลาไรเซชันเป็นศูนย์

นอกจากนี้ยังทำการคำนวณหาค่าความเป็นเหลี่ยมของวงวนยิสเทอรีซิส (loop squarness; R_{sq}) ลักษณะของวงวนยิสเทอรีซิสที่ได้จากการตรวจสอบด้วยเครื่องมือ Sawyer-Tower นั้น จะมีลักษณะที่แตกต่างกันออกไปในแต่ละสาร ซึ่งจะปัจบุกถึงลักษณะเฉพาะทางเเฟร์โรอิเล็กทริกของสารแต่ละชนิด คือ สารที่มีค่าความเป็นเหลี่ยมของวงวนยิสเทอรีซิสมาก แสดงว่ามีสมบัติความเป็นเเฟร์โรอิเล็กทริกที่ดีกว่าสารที่มีค่าความเป็นเหลี่ยมของวงวนยิสเทอรีซิสน้อย ซึ่งค่าความเป็นเหลี่ยมของวงวนยิสเทอรีซิสทางมาตรฐานนี้จะมีค่าเท่ากับ 2.00 โดยสามารถคำนวณค่าความเป็นเหลี่ยมของวงวนยิสเทอรีซิสได้จากสูตรดังสมการ 3.10 [43]

$$R_{sq} = \left(\frac{P_r}{P_s} \right) + \left(\frac{P_{1.1Ec}}{P_r} \right) \quad (3.10)$$

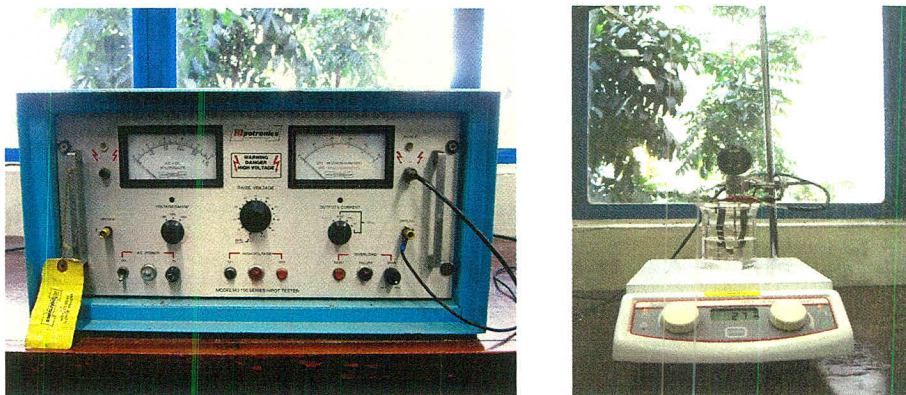
เมื่อ	R_{sq}	ค่าความเป็นเหลี่ยมของวงวนยิสเทอเรชีส
	P_r	คือ ค่าสภาพคงเหลือของโพลาไรเซชัน (หน่วย $\mu\text{C}/\text{cm}^2$)
	P_s	ค่าโพลาไรเซชันอิมตัว (หน่วย $\mu\text{C}/\text{cm}^2$)
	$P_{1.1Ec}$	ค่าโพลาไรเซชันที่ต่ำແเน่งสนามไฟฟ้าเท่ากับ 1.1 ของสนามลบล้าง แม่เหล็ก (หน่วย $\mu\text{C}/\text{cm}^2$)

3.11 การตรวจสอบสมบัติเพียโซอิเล็กทริกของเซรามิก การหาค่าสัมประสิทธิ์เพียโซอิเล็กทริก

ในการตรวจสอบค่าสัมประสิทธิ์เพียโซอิเล็กทริก (piezoelectric coefficient; d_{33}) ของเซรามิกนั้น สามารถทำได้โดยนำชิ้นงานเซรามิกที่ต้องการทดสอบสมบัติตามการทำการขัดด้วยกระดาษทรายเบอร์ 400, 600, 800, 1000 และ 1200 ตามลำดับ เพื่อให้ผิวของชิ้นงานเซรามิกราบเรียบและได้ระนาบ จากนั้นทำการทาการเงินบริเวณพื้นผิวน้ำข่องชิ้นงานเซรามิกทั้งสองด้าน แล้วนำไปอบที่อุณหภูมิ 120 องศาเซลเซียส เป็นเวลา 24 ชั่วโมง เพื่อให้การเงินแห้ง แต่เนื่องจากว่าทิศทางของสภาพการมีข้อ จำกัดของทั้งวัสดุมีการกระจายตัวอย่างสุ่ม หรือมีการกระจายตัวในลักษณะที่นำไปสู่สภาพการมีข้อ โดยรวมเป็นศูนย์แล้ว ปราศจากการนับเพียโซอิเล็กทริกในแต่ละโดเมนจะหักล้างกันจนไม่สามารถแสดง สมบัติดังกล่าวออกมากได้ ดังนั้นจะต้องนำชิ้นงานเซรามิกมาทำการสร้างข้าว (poling) เพื่อให้เกิดการ จัดเรียงตัวของโมเมนต์ได้โดยตรงและทำให้เซรามิกสามารถแสดงพฤติกรรมเพียโซอิเล็กทริกได้ โดยทำการ สร้างข้าวในน้ำมันชิลลิโคนที่อุณหภูมิ 120 องศาเซลเซียส สนามไฟฟ้า 4 kV/mm เป็นเวลานาน 10 นาที โดยเริ่มจากนำชิ้นงานเซรามิกที่ผ่านการทาด้วยการเงินมาทำการตรวจสอบของชิ้นงาน เพื่อ ป้องกันการลัดวงจรจากการให้สนามไฟฟ้าที่มีความต่างศักย์สูงเข้าไป นำชิ้นงานตัวอย่างใส่ในชุดการ ทดลองซึ่งประกอบด้วยชุดคุณภาพรูปจับเม็ดเซรามิกตัวอย่างใส่ลงในเครื่องควบคุมอุณหภูมิของแหล่ง ซึ่ง บรรจุน้ำมันชิลลิโคนอยู่ภายใน และกำหนดอุณหภูมิไว้จนคงที่แล้ว ดังแสดงในรูป 3.14 เริ่มทำการสร้าง ข้าวโดยการค่อยๆ ปรับความต่างศักย์เพิ่มขึ้นแล้วทิ้งไว้ที่ความต่างศักย์คงที่ 4 kV/mm นาน 10 นาที ก่อนจะทำการลดความต่างศักย์ลง จากนั้นนำชิ้นงานออกมาน้ำมันชิลลิโคนและทิ้งไว้ 24 ชั่วโมง

แล้วจึงนำมาวัดค่าสัมประสิทธิ์เพื่อใช้อเล็กทริกของเซรามิกโดยใช้เครื่อง d_{33} มิเตอร์ ดังแสดงในรูป

3.15



รูป 3.14 ชุดเครื่องมือในการบวนการสร้างข้าว

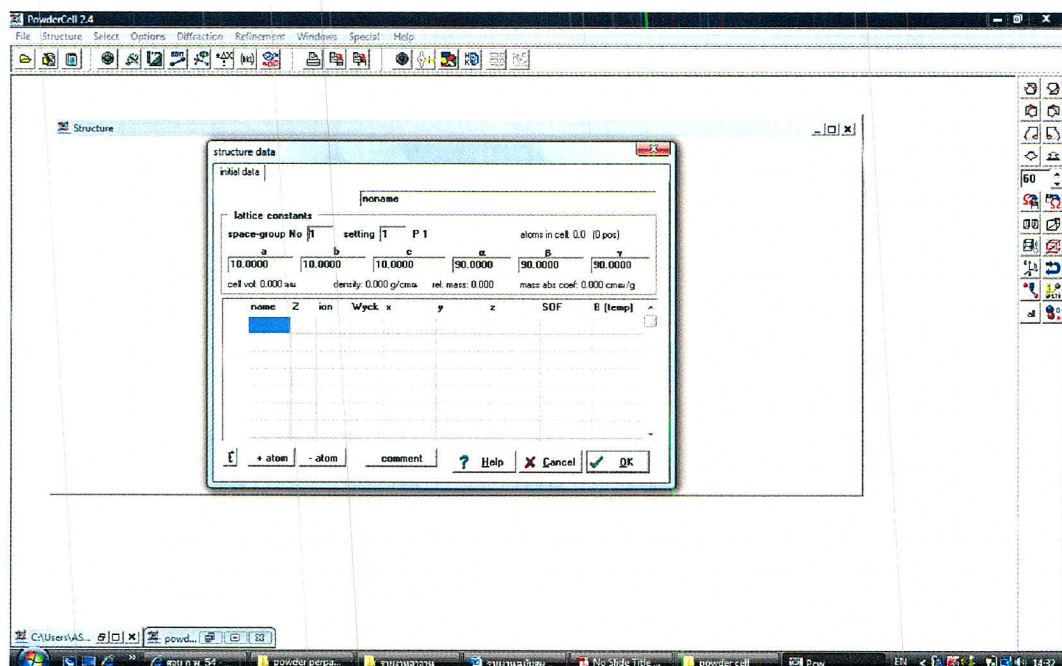


รูป 3.15 เครื่อง d_{33} มิเตอร์ รุ่น S5865

3.12 การศึกษาโครงสร้างผลึกโดยโปรแกรม Powder Cell

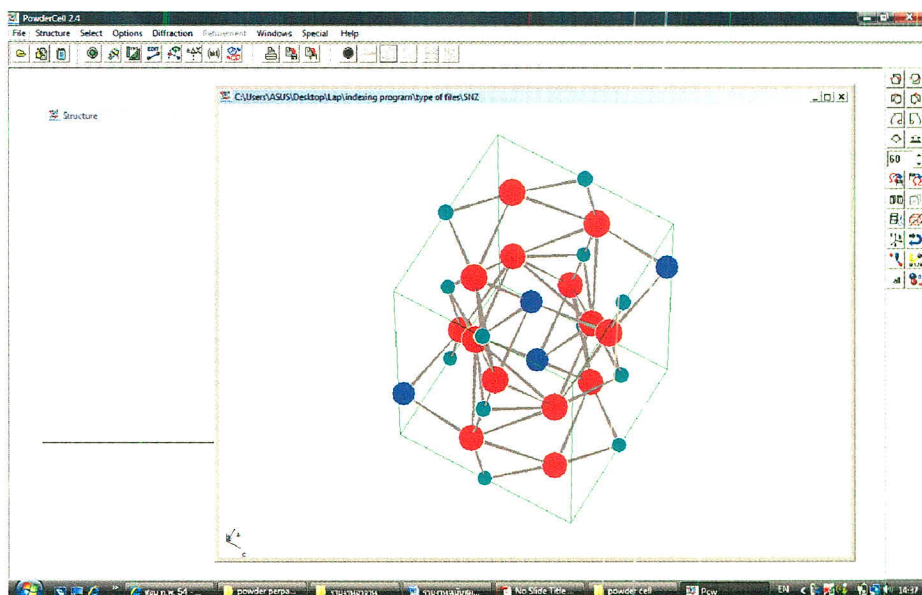
ในการศึกษาโครงสร้างผลึกของผงเซรามิกระบบใหม่บิสมัทไซเดียมเซอร์โคเนต ทำการศึกษาโดยใช้โปรแกรม Powder Cell เขียนโดย W. Kraus และ G. Nolze [41] โปรแกรมประกอบด้วย 4 ส่วนสำคัญ ดังต่อไปนี้

1. ข้อมูลเข้า (input data) เป็นข้อมูลเริ่มต้นที่จำเป็นต้องใช้ในการสร้างหน่วยเซลล์พื้นฐาน ประกอบด้วย แลตทิซพารามิเตอร์ (lattice parameter; a , b , c , α , β , γ), ชนิดอะตอม, เลขอะตอม, ตำแหน่งอะตอม (coordinates) และชนิดสมมาตร (space-group number) นอกจากนี้ยังสามารถกำหนดเงื่อนไขของเครื่องมือด้วย เช่น หมุนรันเริ่มต้นและสุดท้าย, ชนิดของคลื่นตากกระหบบที่ใช้ และ step size หรือ running step เป็นต้น รูป 3.16 แสดง input data screen



รูป 3.16 input data screen

1. แบบจำลองโครงสร้างผลึก (crystal structure representation) เป็นแบบจำลองโครงสร้างที่สร้างขึ้นจากข้อมูลเบื้องต้นในขั้นตอนการนำเข้า ซึ่งแบบจำลองดังกล่าวสามารถหมุนได้, แสดงความยาวพันธะ และอื่นๆ เป็นต้น รูป 3.17 แสดง crystal structure representation



รูป 3.17 crystal structure representation

2. รูปแบบการเลี้ยวเบนpng (powder pattern) เป็นรูปแบบการเลี้ยวเบนที่จำลองขึ้นจากโครงสร้างผลึกในข้อ 2 และเงื่อนไขของภาวะเรห์ต่างๆ ที่เราเลือกใช้ เช่น ความยาวคลื่นตกกระทบ, step size เป็นต้น โดยอาศัยสมการดังต่อไปนี้ในการคำนวณรูปแบบการเลี้ยวเบน

$$I_{HKL} = A \times H \times LPG \times |F_{HKL}|^2 \quad (3.11)$$

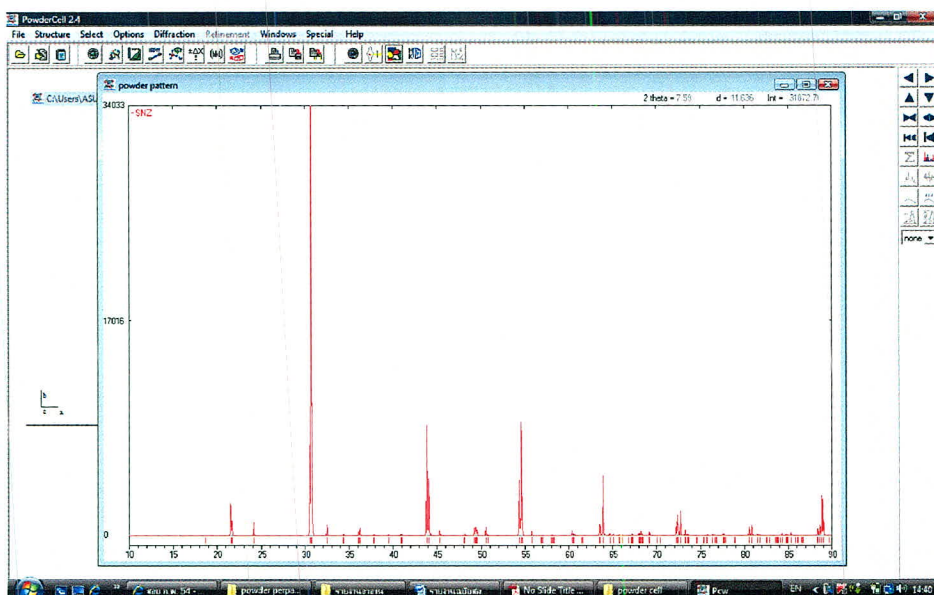
เมื่อ $ F_{HKL} $	คือ ความเข้มพีค
A	คือ การดูดซับขั้นอู่กับวัสดุ
H	คือ multiplicity
LPG	คือ Lorentz polarization และ geometry factors
F_{HKL}	คือ structure factor

$$\text{FWHM}^2 = U \tan^2 \theta + V \tan \theta + W \quad (3.12)$$

เมื่อ FWHM คือ full width at half-maximum หรือ ความกว้างของพีคตรงตำแหน่งความสูงครึ่งหนึ่ง ของพีค

U V W คือ refineable parameters

สำหรับรูปแบบของพีค (peak profile) สามารถเลือกใช้ภายในโปรแกรมโดยสมการของ Gaussian, Lorentz, Pseudo-Voigt และ bi-Gaussian โดยรูป 3.18 แสดง powder pattern

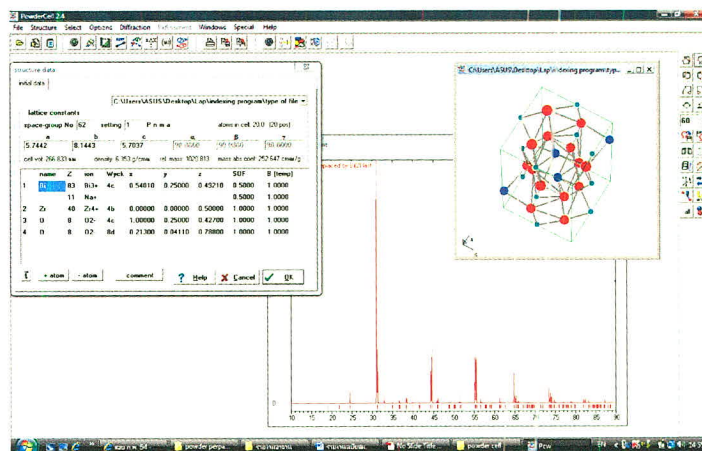


รูป 3.18 แสดง powder pattern

3. ข้อมูลออก (output data) ข้อมูลที่ได้จากโปรแกรม คือ cell parameter, generated atomic coordinates, parameters for reflection calculation และ reflection list สำหรับการ save ไฟล์ มีสองนามสกุลที่จำเป็น คือ .cel สำหรับตัวโปรแกรม และ .ASCII สำหรับการนำข้อมูลไปสร้างกราฟ

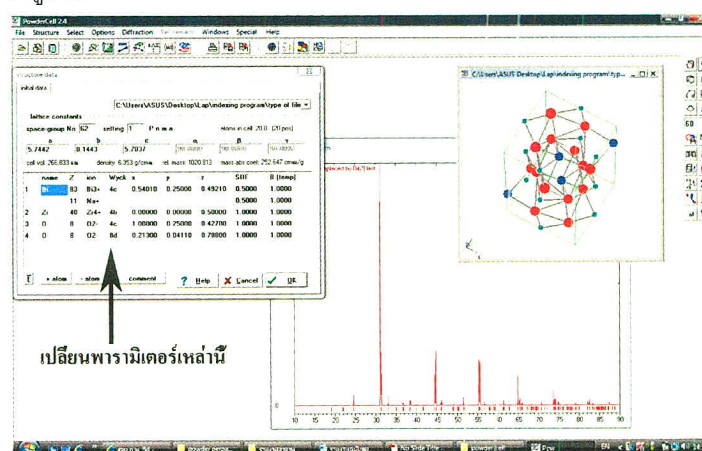
ขั้นตอนการศึกษาโครงสร้างผลึกด้วยโปรแกรม Powder Cell

- เลือกใช้ข้อมูลโครงสร้างผลึกที่เหมาะสม (input data) โดยสามารถได้รับอื่นที่มีโครงสร้าง รากตุ้นที่เป็นองค์ประกอบ และรูปแบบการเลี้ยวเบนรังสีเอกซ์ที่สอดคล้องกับตัวอย่างมากที่สุด
- ให้ input data โปรแกรมสร้างแบบจำลองโครงสร้างผลึก และรูปแบบการเลี้ยวเบน ดังรูป 3.19



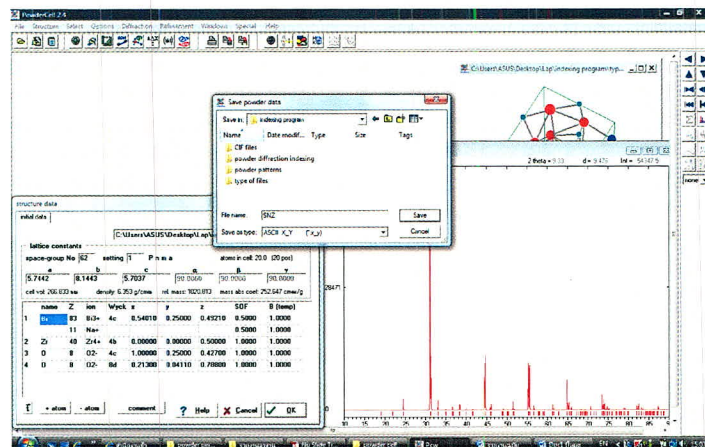
รูป 3.19 Powder cell screen

- เปลี่ยนแปลงพารามิเตอร์ต่างๆ เช่น lattice parameter (a , b , c , α , β , γ), coordinates, space-group number ซึ่งรูปแบบการเลี้ยวเบนจะเปลี่ยนแปลงตามพารามิเตอร์ที่เปลี่ยนไป



รูป 3.20 การเปลี่ยนแปลงพารามิเตอร์เริ่มต้น

4. เมื่อได้พารามิเตอร์ต่างๆที่เหมาะสม แล้วรูปแบบการเลี้ยวเบนที่คล้ายกับตัวอย่าง จึงนำข้อมูลออกมานำร้ากราฟ

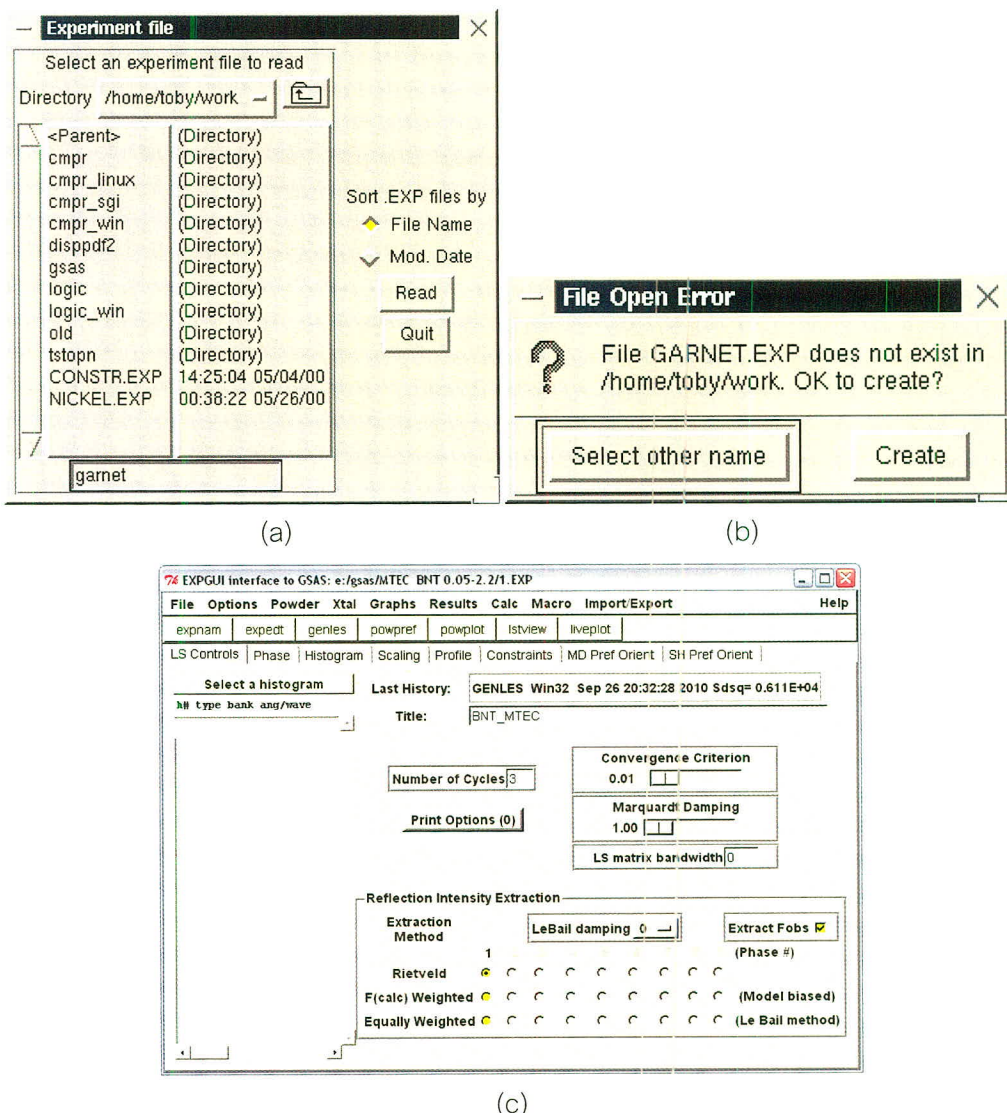


รูป 3.21 การ save ไฟล์นามสกุล .ASCII

3.13 การศึกษาโครงสร้างผลึกวิธีเรียทเวลด์โดยโปรแกรม GSAS

1. สร้างไฟล์ผลการทดลอง (Creating the experiment)

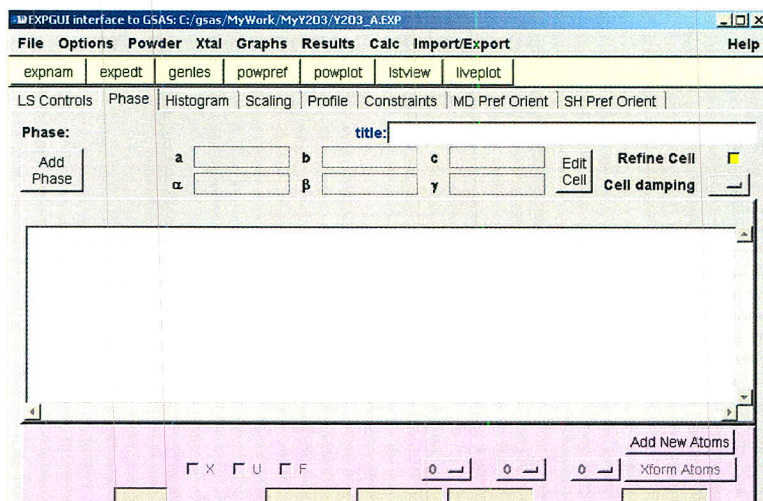
เริ่มโปรแกรม EXPGUI [7] เลือก directory ที่ต้องการใช้งาน และตั้งชื่อไฟล์ผลการทดลอง ซึ่งไฟล์มีนามสกุล .EXP คลิกไปที่ Read ตามรูป 3.22 (a) ไฟล์กำลังจะถูกสร้างขึ้นโดยการกด cerate ด้านล่าง ดังรูป 3.22 (b) จึงทำการตั้งชื่อผลการทดลองแล้วกด set จากนั้นจะปรากฏ EXPGUI เป็นหน้าของ LS control pane ใส่จำนวนรอบในการวิเคราะห์ตัวแปรต่างๆ และเลือกไปที่ extraction of Fobs



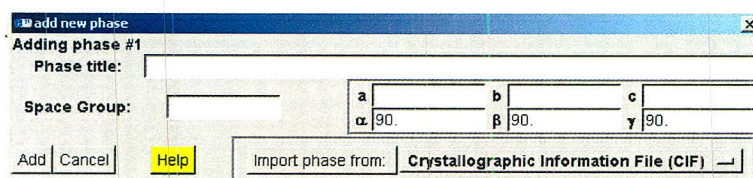
รูป 3.22 (a), (b) และ (c) ลำดับการสร้างไฟล์ผลการทดลอง

2. การกำหนดข้อมูลค่าเริ่มต้นเฟส และอะตอม (Add a phase and atoms to the Experiment)

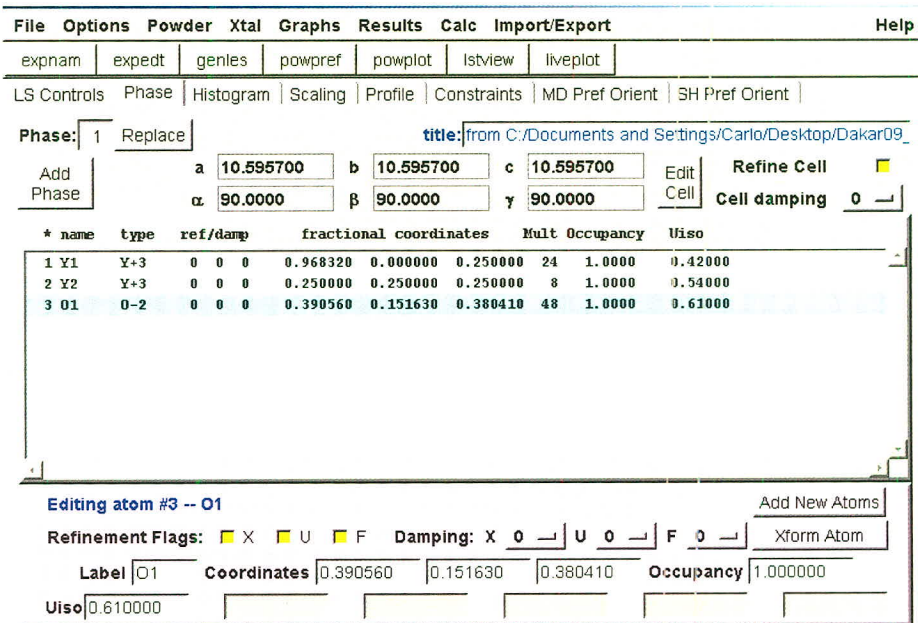
เลือกແນບເຄື່ອງມືຂອງ Phase ດັ່ງກູບ 3.23 (a) ແລະ ກຳ Add phase ຕ່ອມປາກຸ່ນໜ້າຕ່າງດັ່ງກູບ 3.23 (b) ແລ້ວໃສ່ຂໍ້ມູນ space group ຄວາມຍາວຂອງແກນ ແລະ ມຸມ ທີ່ອຳນົມຂໍ້ມູນທີ່ເປັນໄຟລ໌ນາມສຸດ CIF ຂອງສາງປະກອບ ຫຼຶ້ງທາງແລ່ວໆອ້າງອີງທີ່ມີການທຳກາງຈິຕຣາະທີ່ໂຄຮງສ້າງພຶກໂດຍວິທີເຮັດວຽກດີ່ຂຶ້ນມາກ່ອນ ພອກດ Add ຈະປາກຸ່ນໜ້າຕ່າງໃຫ້ເຫັນຂໍ້ມູນເຟທີ່ປ້ອນເຂົ້າໄປ ຈາກນັ້ນ ທຳການ Add atom ຕາມຈຳນວນສາງປະກອບທີ່ໃຊ້ໃນການທຳລອງໂດຍຄືກ More atom ເມື່ອຄືກ OK ຈະມີຮາບລະເອີຍດ້ານຂໍ້ມູນ ອະຕອມປາກຸ່ນປິ່ນອຶກຮັ້ງ



(a)



(b)

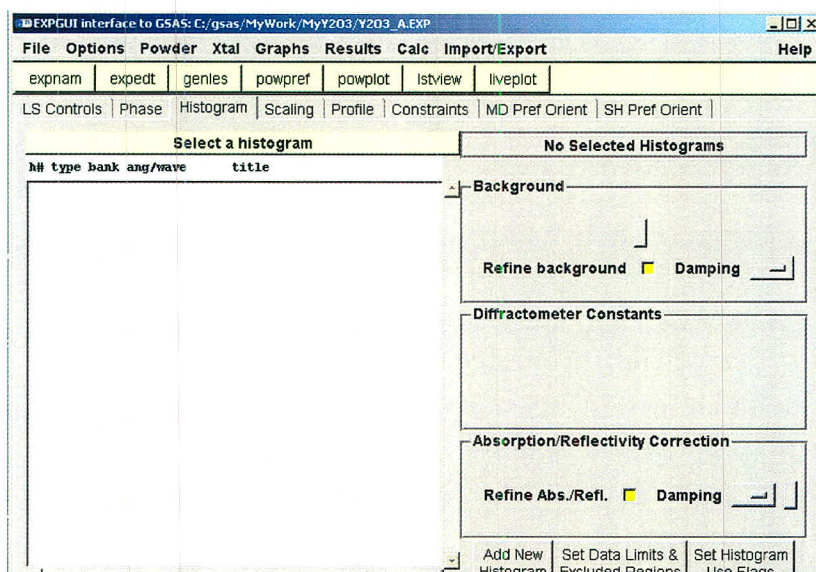


(c)

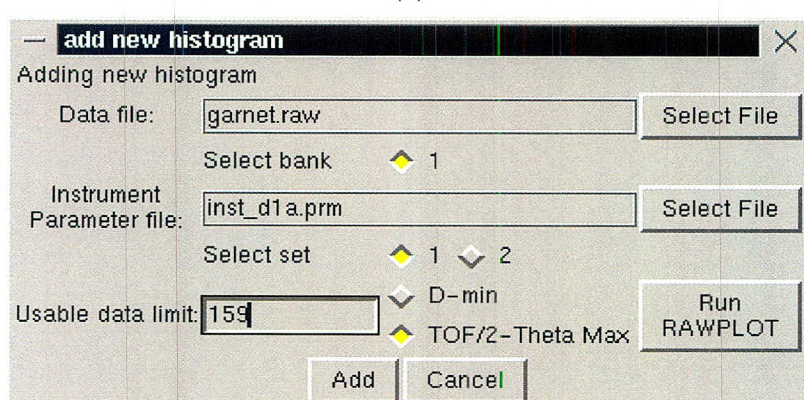
รูป 3.23 (a), (b) และ (c) ลำดับการตั้งค่าเฟส และอัตโนมัติเริ่มต้นก่อนทำการทดลอง

3. การป้อนข้อมูลของ Histogram (Add data (histogram) to the Experiment)

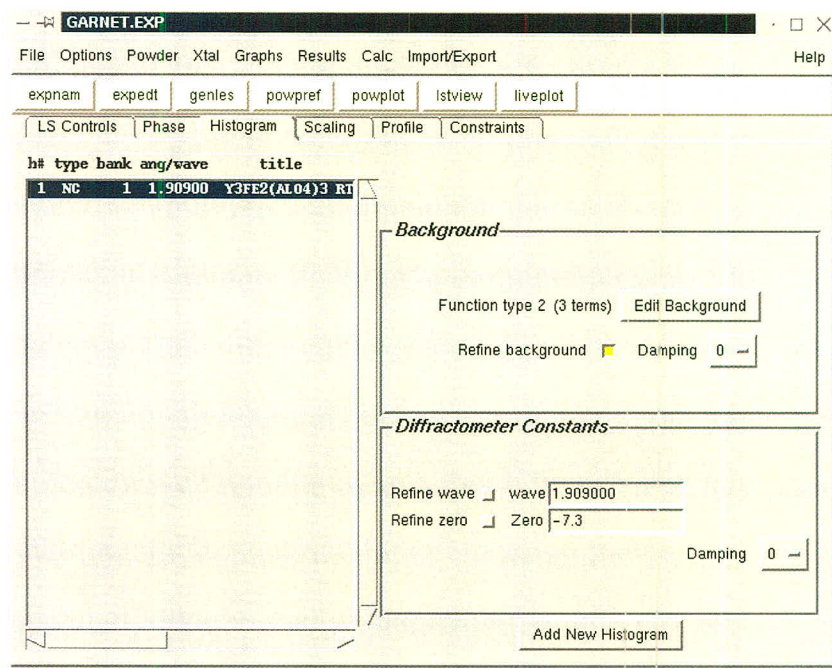
เริ่มต้นโดยการเลือกแท็บเครื่องมือ Histogram ดังรูป 3.24 (a) และคลิก Add new histogram ดังรูป 3.24 (b) จากนั้นป้อน data file ของรูปแบบการเลี้ยวเบนของรังสีเอกซ์ Instrument parameter file ของเครื่องการเลี้ยวเบนของรังสีเอกซ์ กำหนดขอบเขตค่ามุนสูงสุดที่ทำการทดลอง คลิก Add จะปรากฏหน้าต่างรายละเอียด Histogram ให้เช็คคิวครั้ง และกำหนดรายละเอียดของสมการ background ที่ใช้และจำนวนครั้งในการวิเคราะห์ จะปรากฏดังรูป 3.24 (c)



(a)



(b)

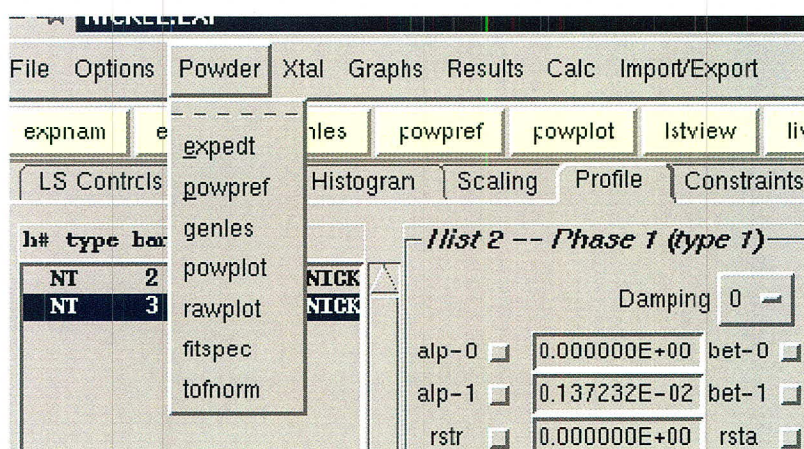


(c)

รูป 3.24 (a), (b) และ(c) ลำดับการกำหนดข้อมูล Histogram

4. สร้างรูปแบบการเลี้ยวเบนโดย POWPREF และ GENLES (Run POWPREF and GENLES)

ทำการกด POWPREF ก่อนทำการ least-squares refinement เพื่อเป็นการยืนยันการทำงานต่อไป กด continue editing หรือยกเลิกการดำเนินการครั้งนี้ โดยกด load new จากนั้นทำการกด GENLES เพื่อเริ่มสร้างรูปแบบการเลี้ยวของรังสีเอกซ์จากการคำนวณ โดยเริ่มจากการสร้าง background และคลิกปรับเปลี่ยนตัวแปรอื่นๆ ที่มีผลต่อการเกิดรูปแบบการเลี้ยวเบนของรังสีเอกซ์ตามลำดับ ตามรูป 3.25 (a) จะปรากฏหน้าต่างผลการทดลอง ดังรูป 3.25 (b) และพิจารณาความแม่นยำในการคำนวณรูปแบบการเลี้ยวเบนของรังสีเอกซ์จากค่าตัวแปร R และ Chi-square



(a)

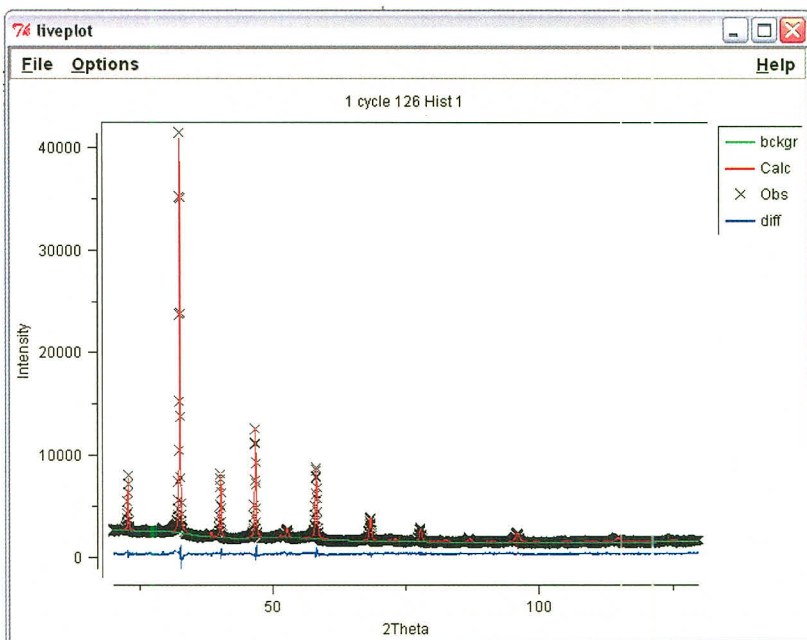
```
C:\WINDOWS\system32\cmd.exe - C:/gsas/expgui/gsastcl.bat C:/gsas/exe/genles.exe 1
E:\gsas\MTEC BNT 0.05-2.2>set SYMOP=C:\gsas\data\symop.dat
E:\gsas\MTEC BNT 0.05-2.2>C:\gsas\exe\genles.exe 1
Restraint data statistics:
No restraints used
Powder data statistics          Fitted      -Bknd      Average
Bank Ndata Sum(w*d**2)   wRp      Rp    wRp     Rp      Dwd  Integra
Hstgm 1 PXC 1 2199 6105.9  0.0376 0.0290 0.0418 0.0357  0.905  0.868
Powder totals 2199 6105.9  0.0376 0.0290 0.0418 0.0357  0.905
Cycle 126 There were 2199 observations.
Total before-cycle CHI**2 (offset/sig) = 6.1059E+03 < 5.9571E+01
Reduced CHI**2 = 2.806 for 23 variables
Histogram 1 Type PXC Nobs = 78 R(F**2) = 0.1244
CPU times for matrix build 0.09 sec; matrix inversion 0.02 sec
Final variable sum<(shift/esd)**2> for cycle 126: 0.00 Time: 0.11 sec
Convergence was achieved and
STOP GENLES terminated successfully statement executed
E:\gsas\MTEC BNT 0.05-2.2>pause
Press any key to continue . . .
```

(b)

รูป 3.25 (a) และ (b) ลำดับการเบรี่ยบเที่ยบข้อมูล

5. ดูลักษณะกราฟจาก POWPLOT หรือ LIVEPLOT (Plot data using POWPLOT or LIVEPLOT)

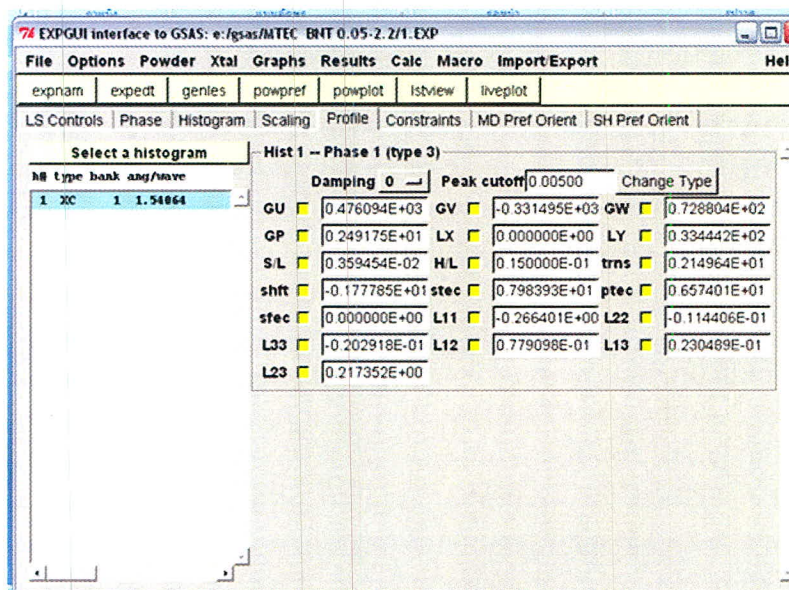
ถ้าเป็นโปรแกรม EXPGUI ใช้กดแบบเครื่องมือไปที่ LIVEPLOTเพื่อต้องการดูรูปแบบการเลี้ยวเบนของรังสีเอกซ์ที่ได้จากการคำนวณเทียบกับรูปแบบการเลี้ยวของรังสีเอกซ์ที่สังเกต และผลต่างระหว่างทั้งสองรูปแบบการเลี้ยวเบนรูป 3.26



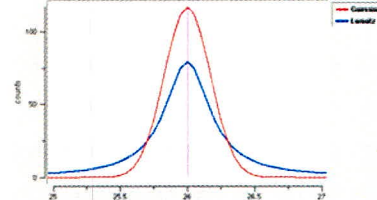
รูป 3.26 รูปแบบการเลี้ยวเบนของรังสีเอกซ์ที่ได้จากการคำนวณและสังเกตการณ์เปรียบเทียบกัน

6. การวิเคราะห์ Least-Squares เพิ่มเติม (Additional Least-Squares Refinement)

ทำการปรับเปลี่ยนตัวแปรตามสมการเรียทเวลต์ ยกตัวอย่างดังรูป 3.27 การปรับเปลี่ยนความกว้างของกราฟตามตัวแปรสมการของ Pseudo voigt function และทำการ Least-square ต่อไปเพื่อให้ได้รูปแบบการเรียงเบนของรังสีเอกซ์ที่ได้จากการคำนวนໄก้ล็อกเกอร์กับรูปแบบการเรียงเบนที่สังเกต



$\text{FWHM} = \text{pseudo voigt fun.}$
 $= \text{Gaussian} + \text{Lorentzian}$



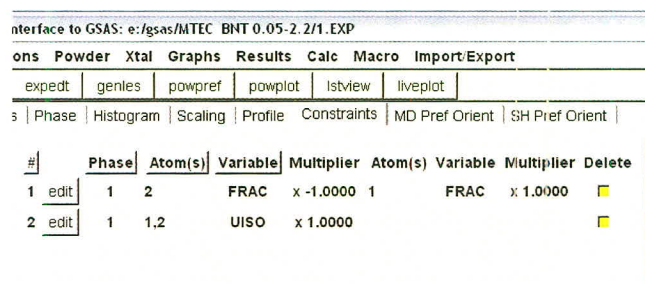
$$\text{Gaussian Breadth: } \sigma^2 = GU \tan^2 \theta + GV \tan \theta + GW \tan^2 \theta + GP / \cos^2 \theta$$

$$\text{Lorentzian Breadth: } \gamma = (LX - pte \cos \phi) / \cos \theta + (LY - stec \cos \phi) \tan \theta$$

รูป 3.27 การปรับเปลี่ยนตัวแปรที่มีผลต่อรูปร่างของพีค

7. การบังคับตัวแปร (Define constraints)

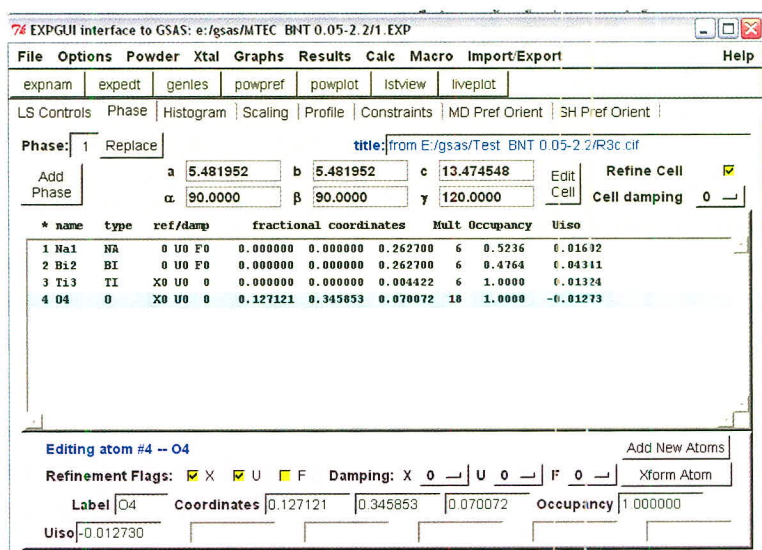
เป็นวิธีการบังคับตัวแปรที่มีผลต่อรูปแบบการเลี้ยวเบนของรังสีเอกซ์ตามลักษณะโครงสร้าง เช่นการเคลื่อนที่ของอะตอมที่อยู่ในตำแหน่งเดียวกันให้มีการเคลื่อนที่เท่ากันเมื่อได้รับความร้อนจาก รังสีเอกซ์ หรือทำหนดอัตราส่วนของสารที่การยึดครองตำแหน่งอะตอมในตำแหน่งเดียวกันดังรูป 3.28



รูป 3.28 บังคับการเคลื่อนที่ของอะตอมที่อยู่ตำแหน่งเดียวกัน และอัตราส่วนของสาร

8. การปรับเปลี่ยนตัวแปรของอะตอม (Vary atomic parameters)

การปรับเปลี่ยนตัวแปรของอะตอมของสาร ไม่ว่าจะเป็น ตำแหน่งของอะตอม การเคลื่อนที่ ของอะตอมของสารเมื่อได้รับความร้อนจากรังสีเอกซ์ และอัตราส่วนของสาร เพื่อให้ได้ข้อมูลรูปแบบ การเลี้ยวเบนของรังสีเอกซ์ที่มีความคลาดเคลื่อนน้อยที่สุด



รูป 3.29 การปรับเปลี่ยนตัวแปรของอะตอม